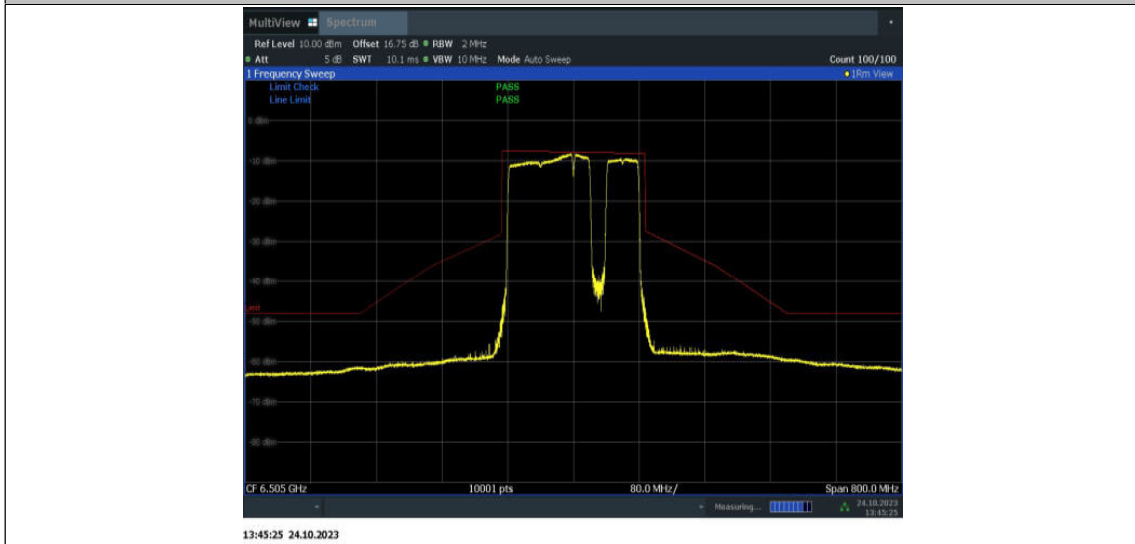
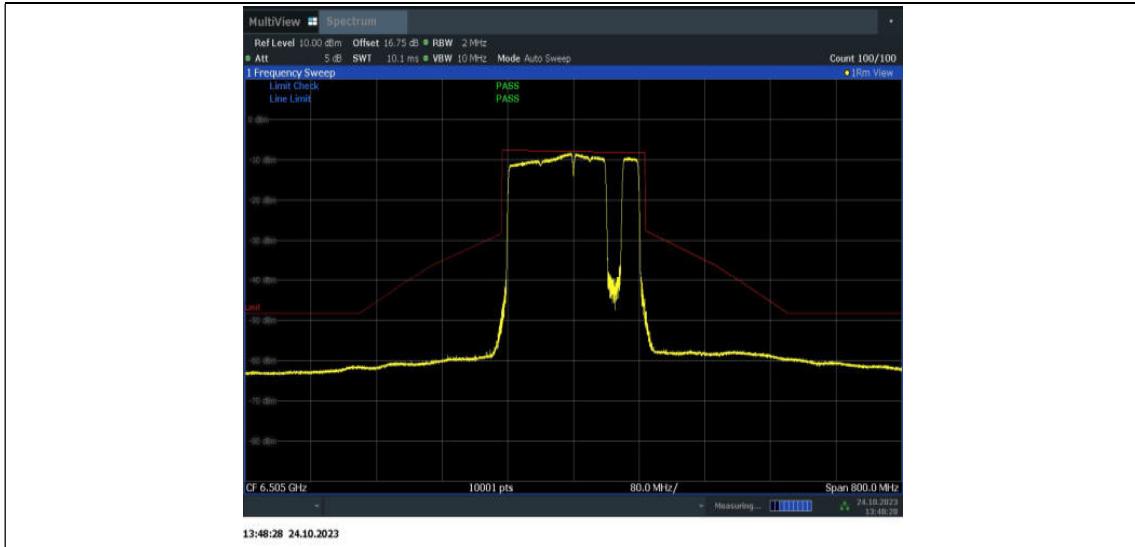




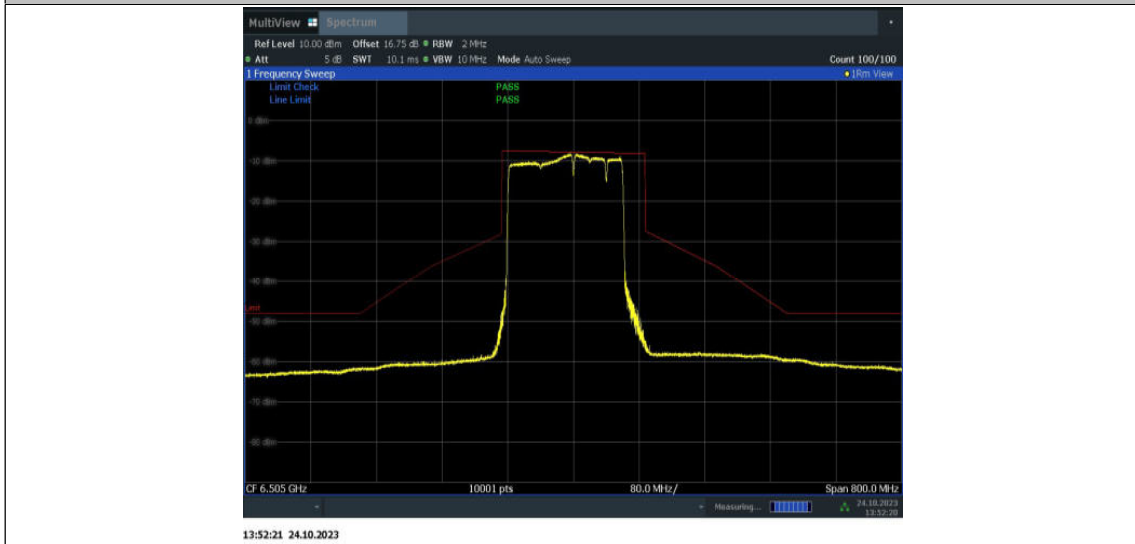
11BE160MIMO_Ant9_6505_996+484+242_OFDMA_6



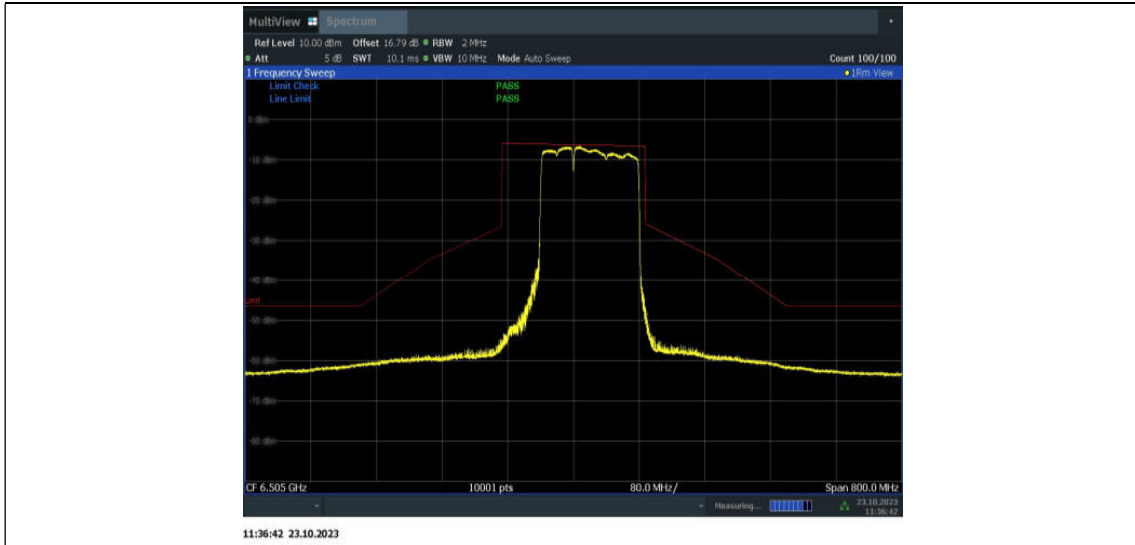
11BE160MIMO_Ant9_6505_996+484+242_OFDMA_7



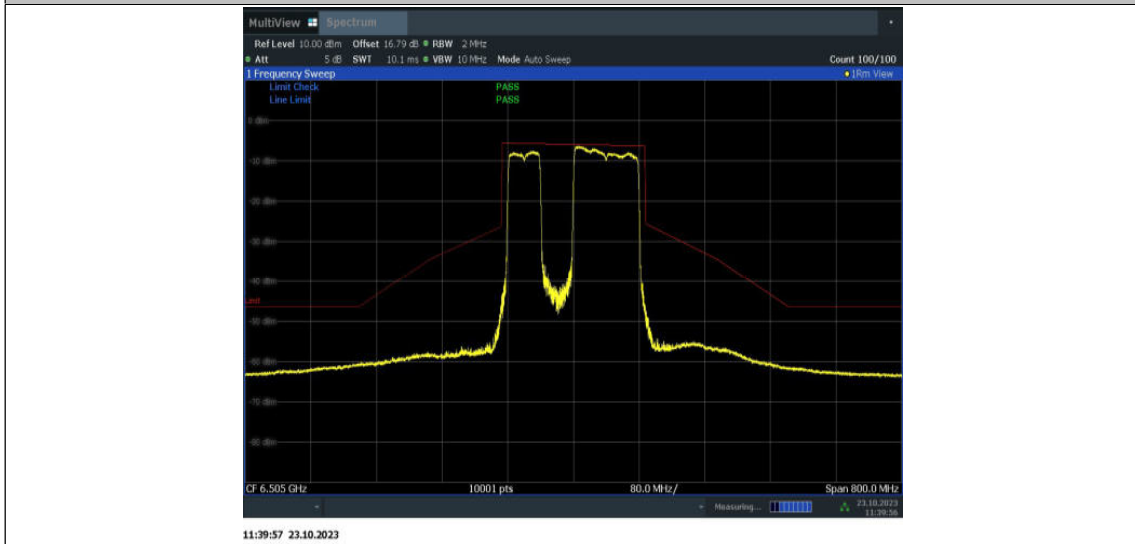
11BE160MIMO_Ant9_6505_996+484+242_OFDMA_8



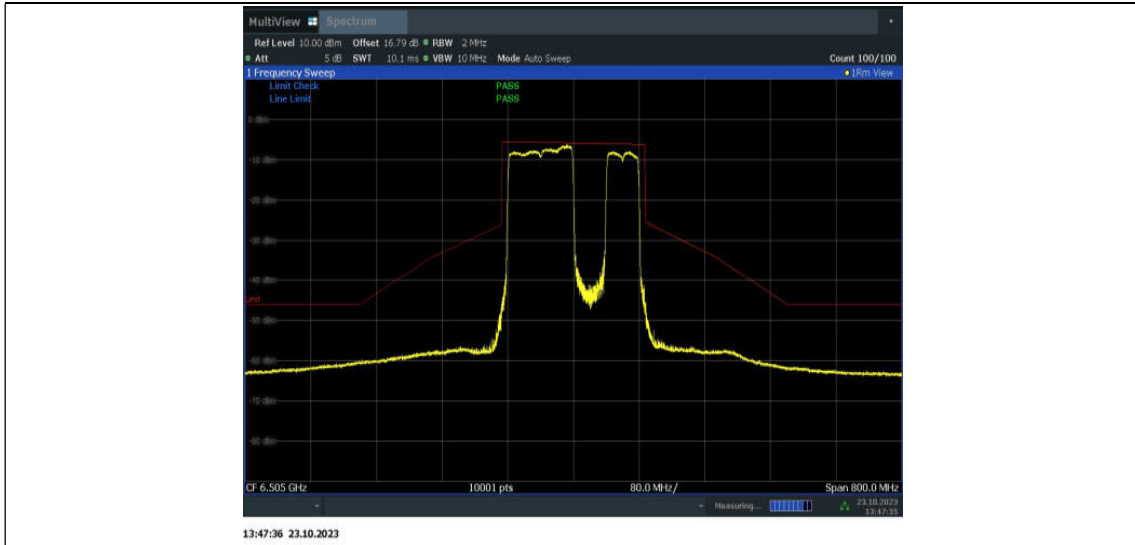
11BE160MIMO_Ant15_6505_996+484_OFDMA_1



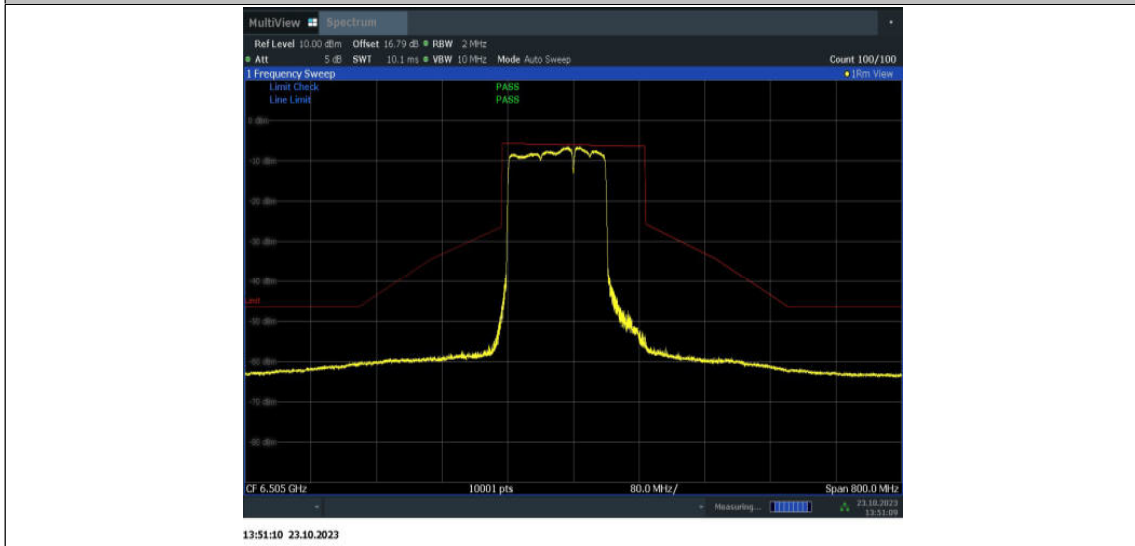
11BE160MIMO_Ant15_6505_996+484_OFDMA_2



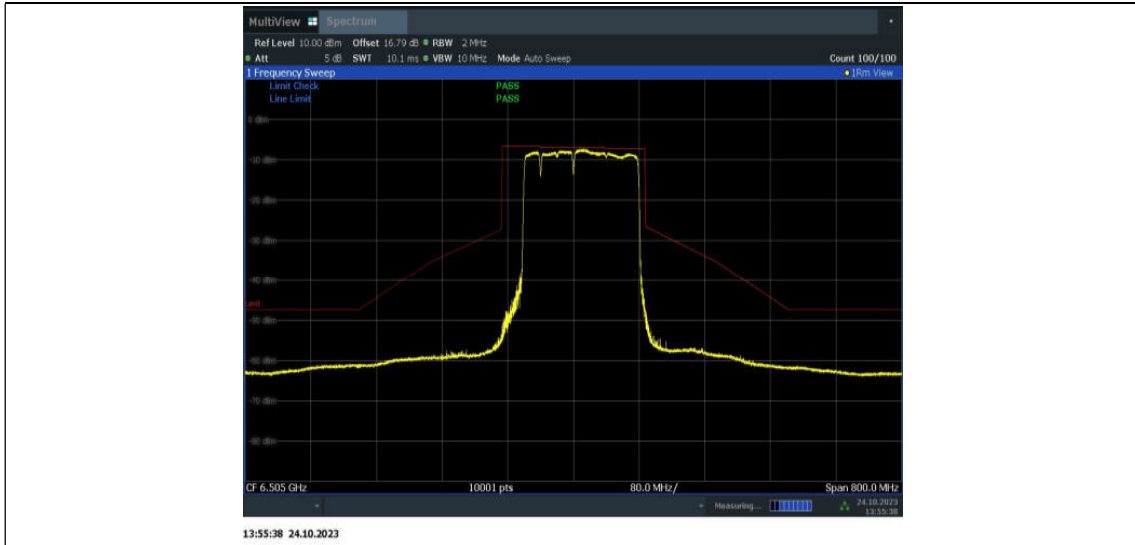
11BE160MIMO_Ant15_6505_996+484_OFDMA_3



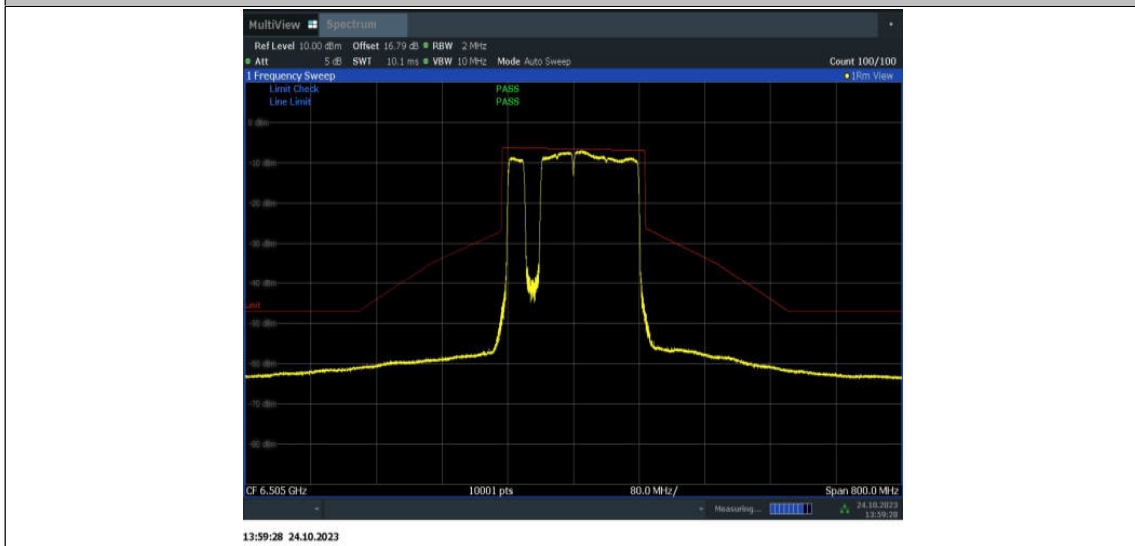
11BE160MIMO_Ant15_6505_996+484_OFDMA_4



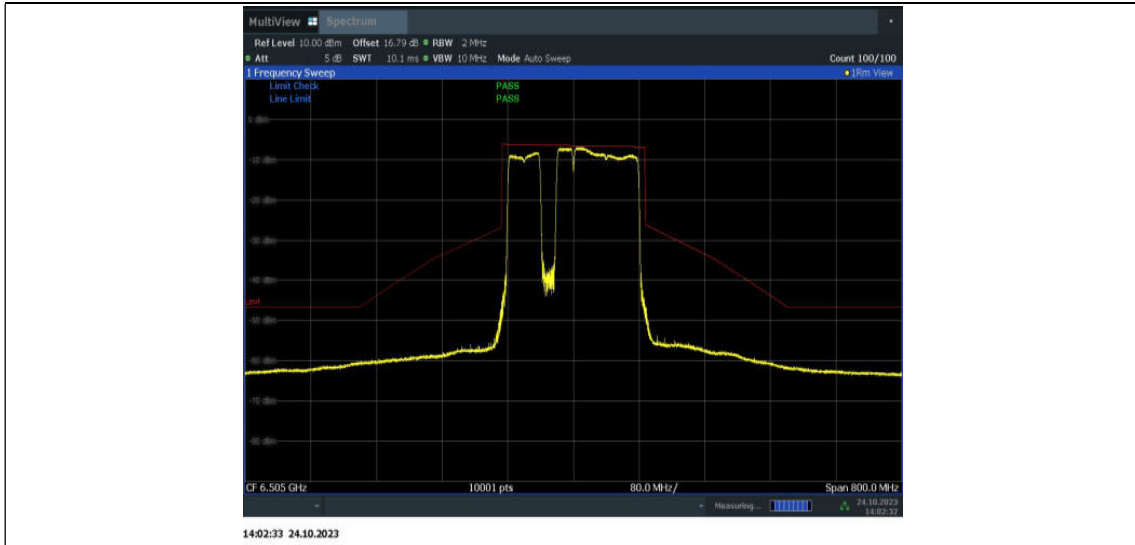
11BE160MIMO_Ant15_6505_996+484+242_OFDMA_1



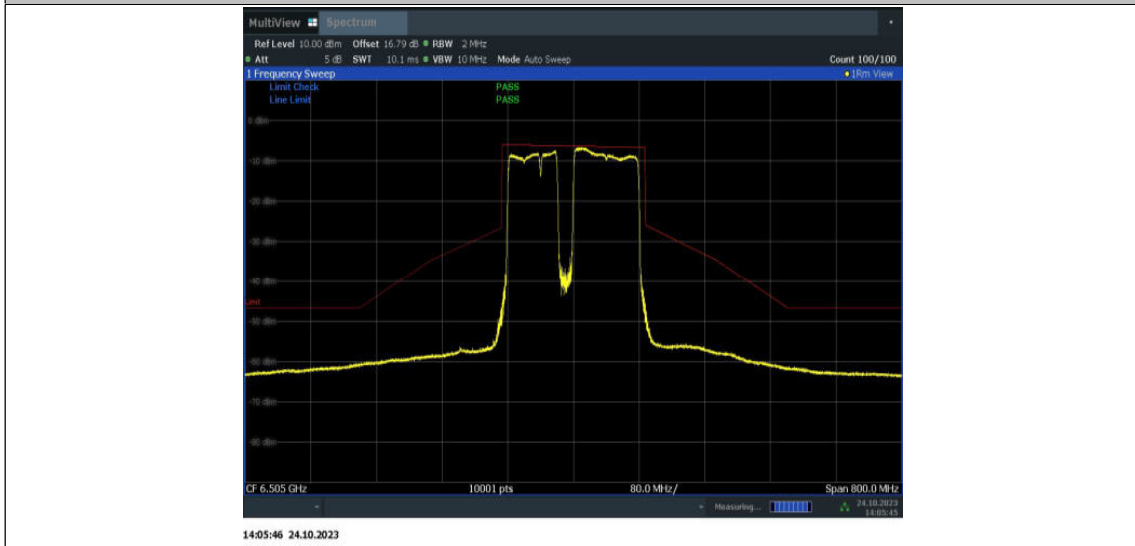
11BE160MIMO_Ant15_6505_996+484+242_OFDMA_2



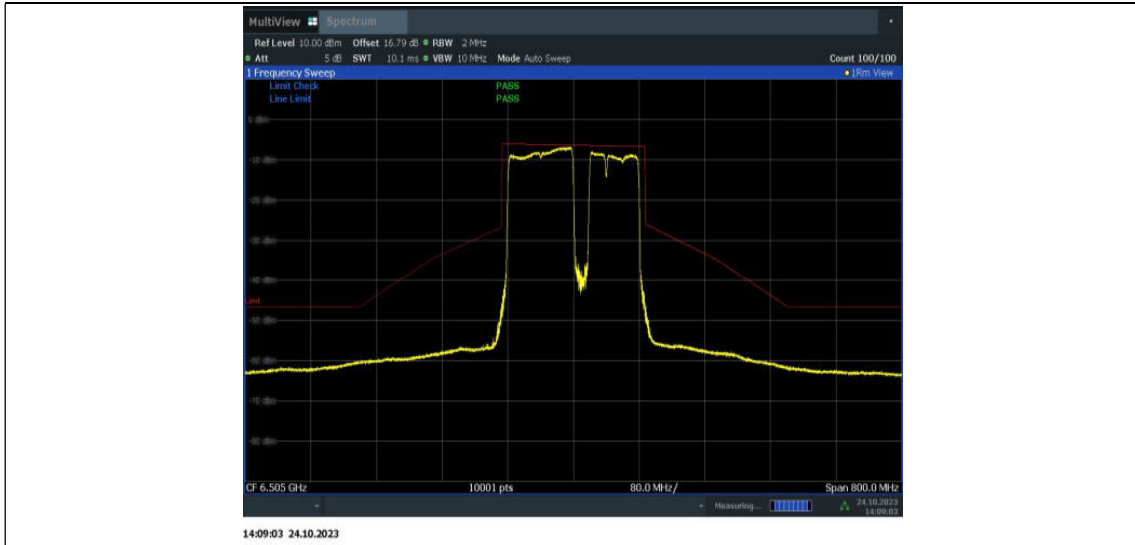
11BE160MIMO_Ant15_6505_996+484+242_OFDMA_3



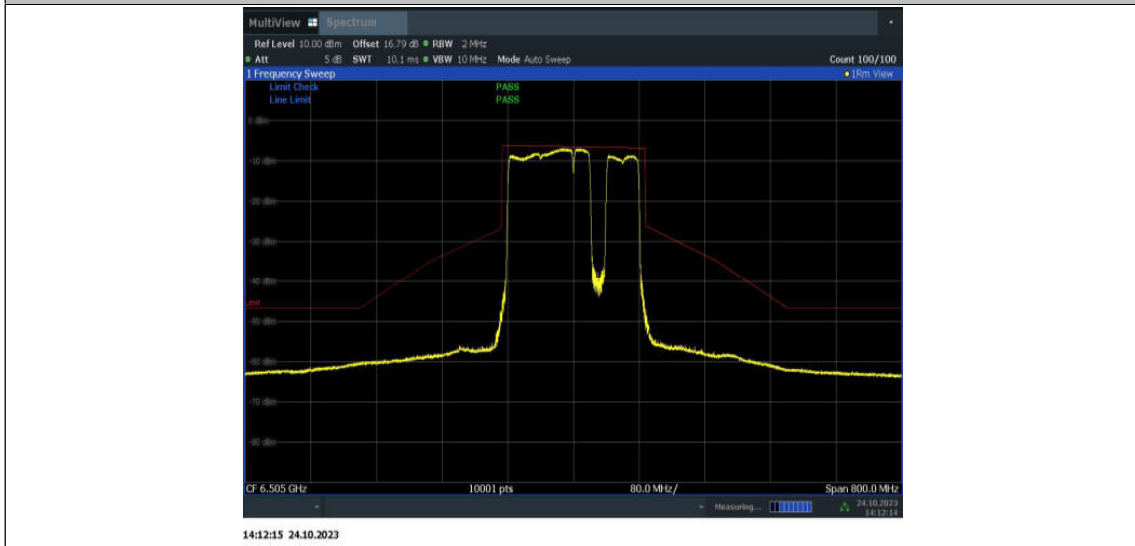
11BE160MIMO_Ant15_6505_996+484+242_OFDMA_4



11BE160MIMO_Ant15_6505_996+484+242_OFDMA_5



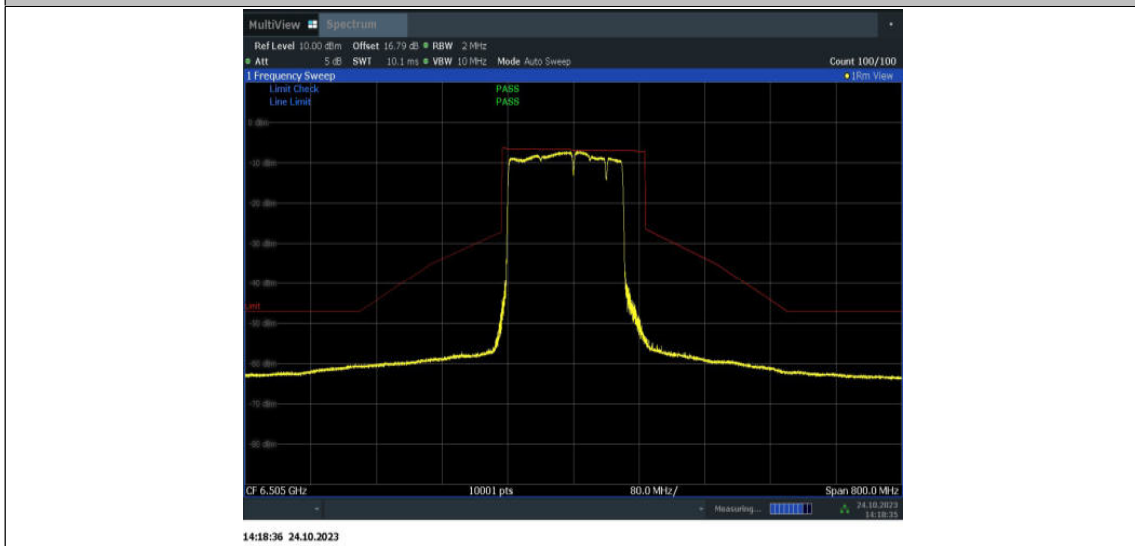
11BE160MIMO_Ant15_6505_996+484+242_OFDMA_6



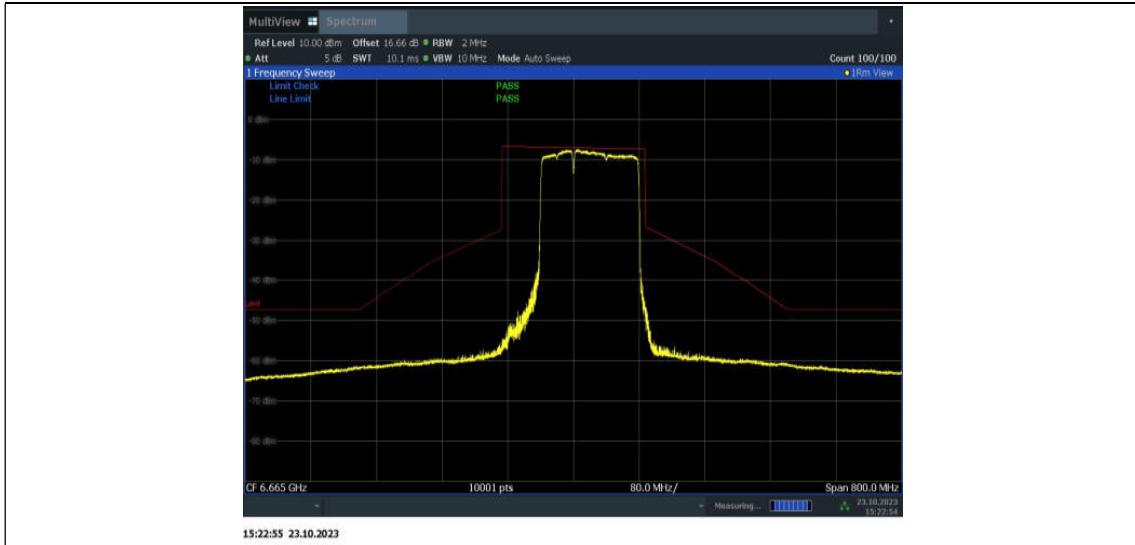
11BE160MIMO_Ant15_6505_996+484+242_OFDMA_7



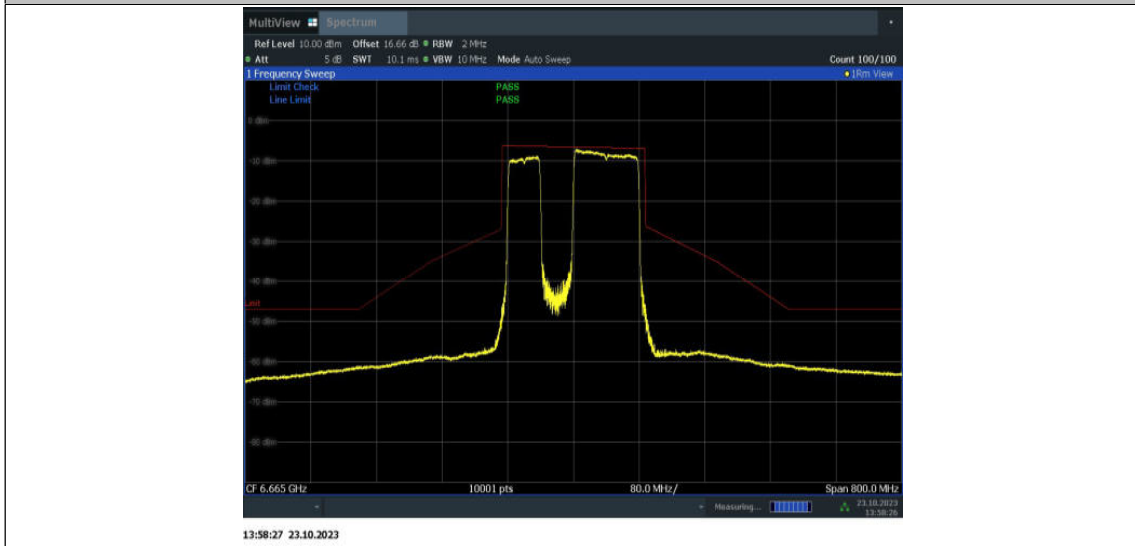
11BE160MIMO_Ant15_6505_996+484+242_OFDMA_8



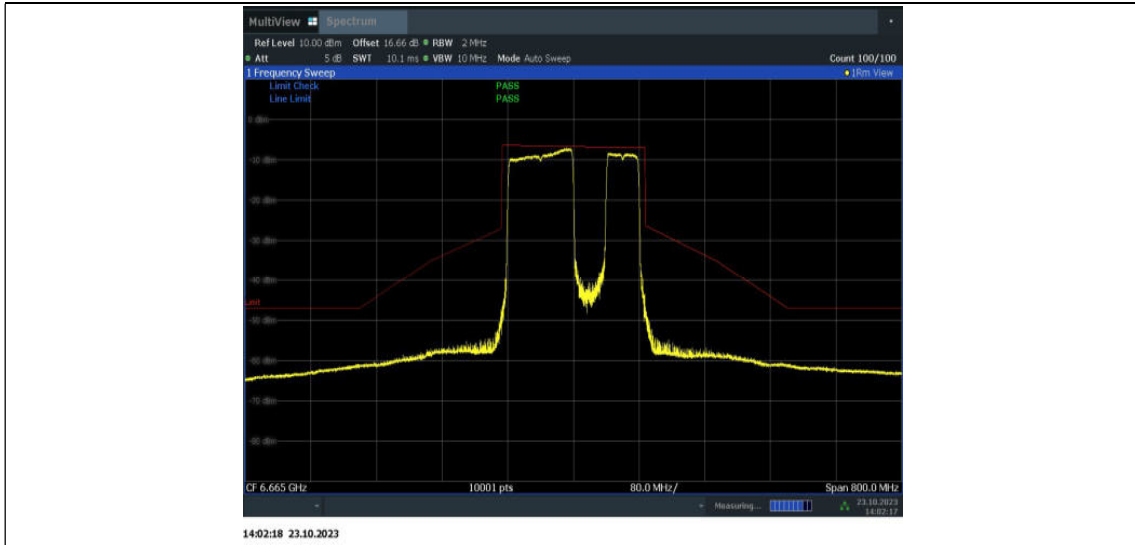
11BE160MIMO_Ant9_6665_996+484_OFDMA_1



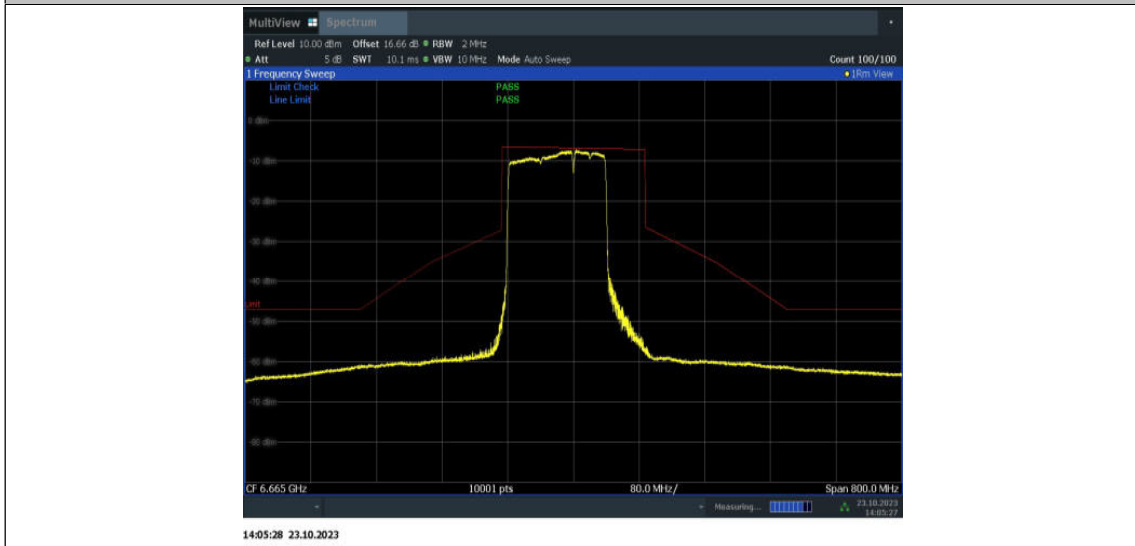
11BE160MIMO_Ant9_6665_996+484_OFDMA_2



11BE160MIMO_Ant9_6665_996+484_OFDMA_3



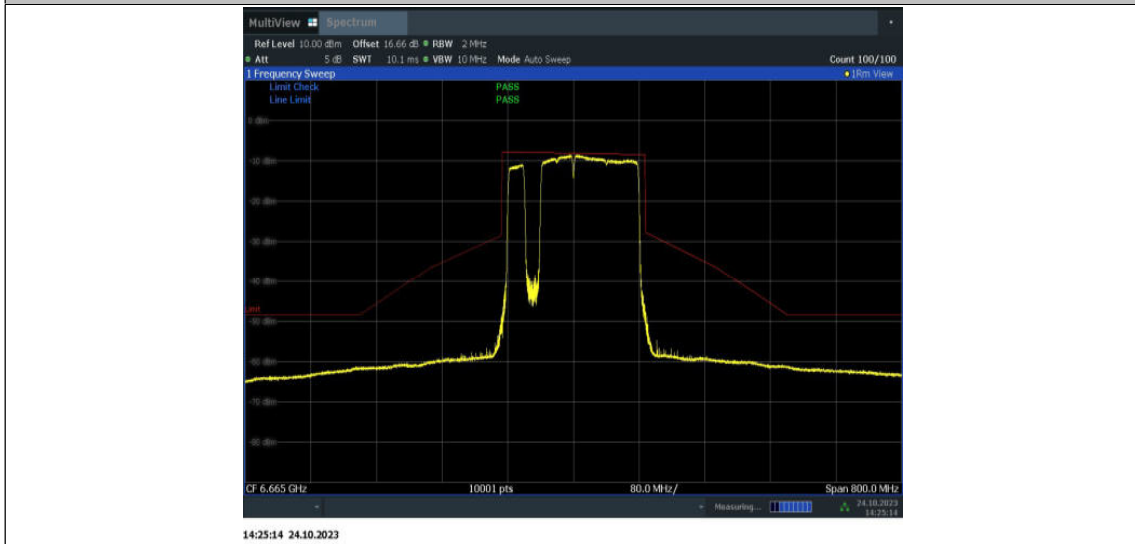
11BE160MIMO_Ant9_6665_996+484_OFDMA_4



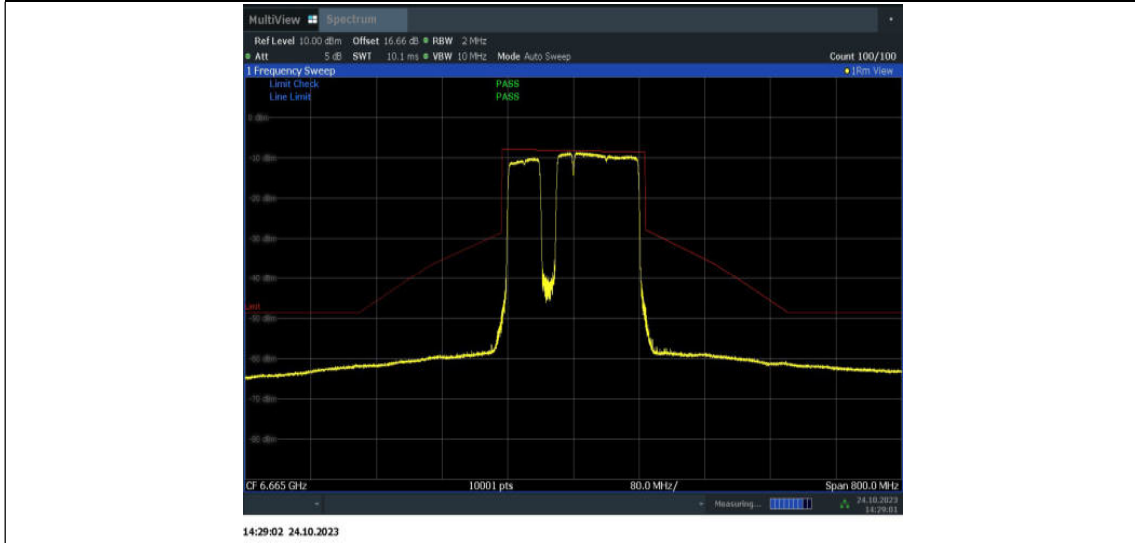
11BE160MIMO_Ant9_6665_996+484+242_OFDMA_1



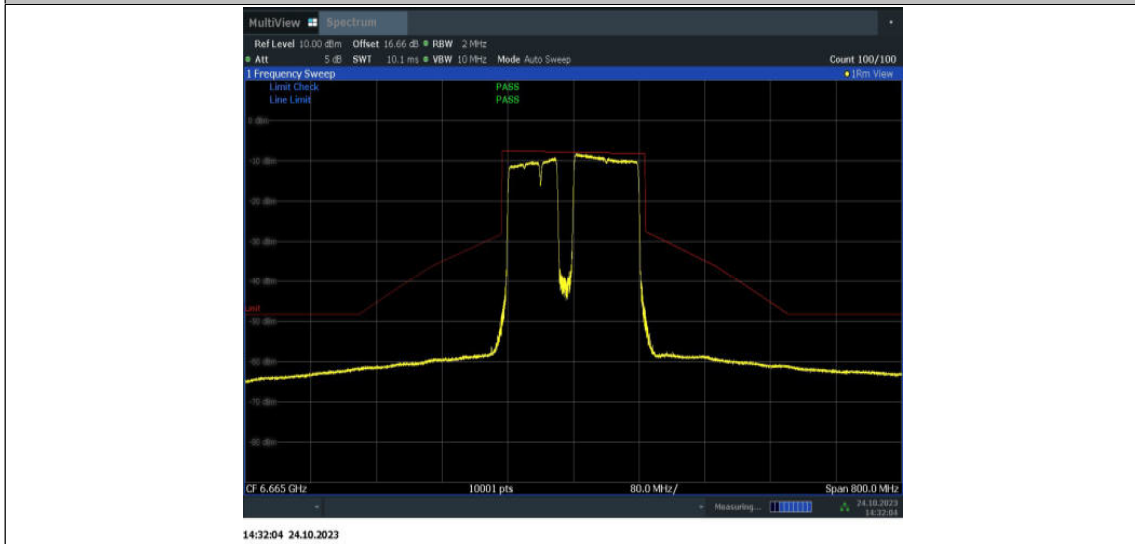
11BE160MIMO_Ant9_6665_996+484+242_OFDMA_2



11BE160MIMO_Ant9_6665_996+484+242_OFDMA_3



11BE160MIMO_Ant9_6665_996+484+242_OFDMA_4



11BE160MIMO_Ant9_6665_996+484+242_OFDMA_5



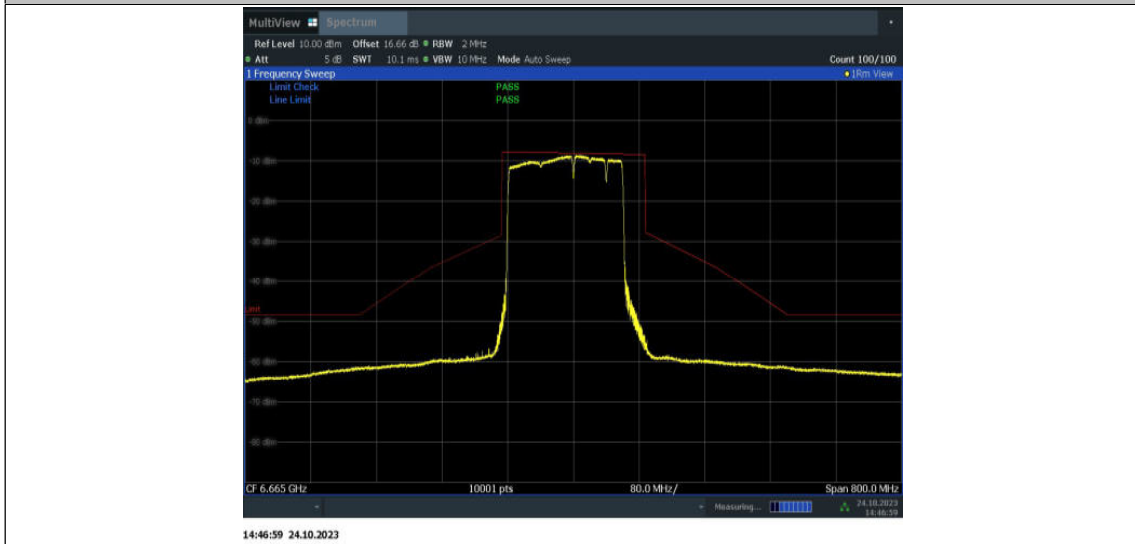
11BE160MIMO_Ant9_6665_996+484+242_OFDMA_6



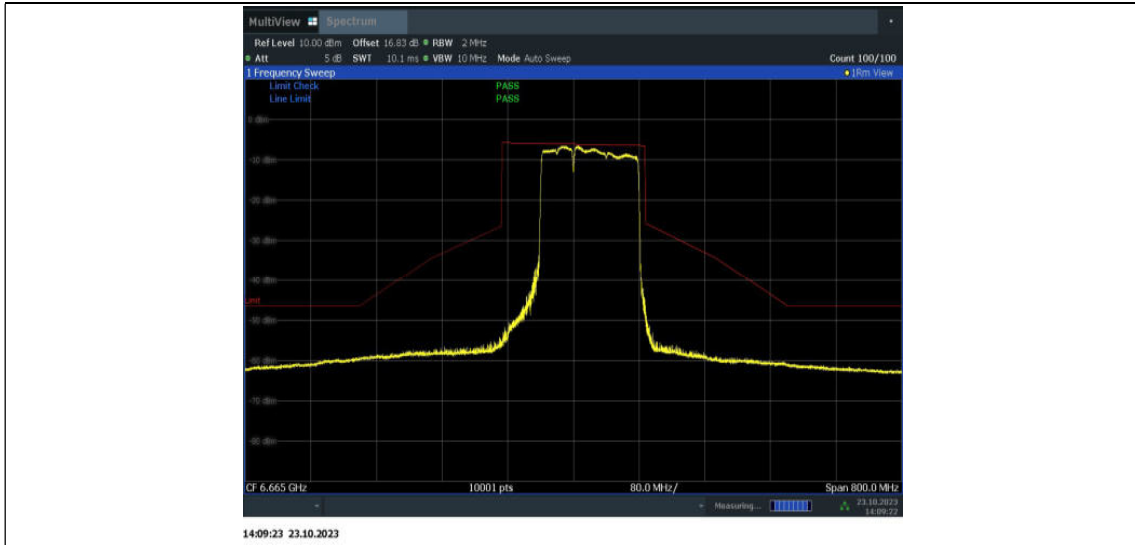
11BE160MIMO_Ant9_6665_996+484+242_OFDMA_7



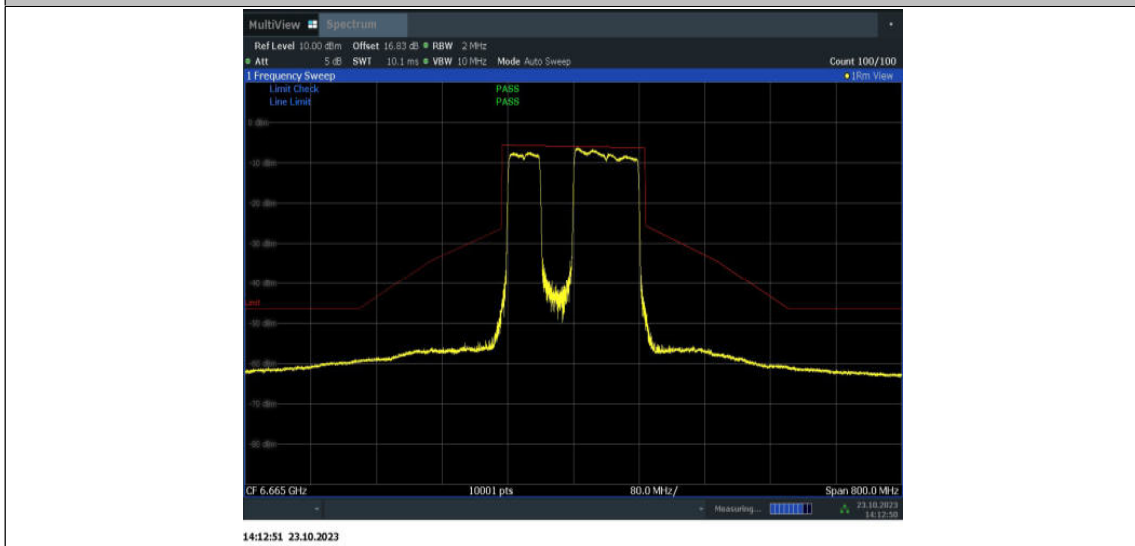
11BE160MIMO_Ant9_6665_996+484+242_OFDMA_8



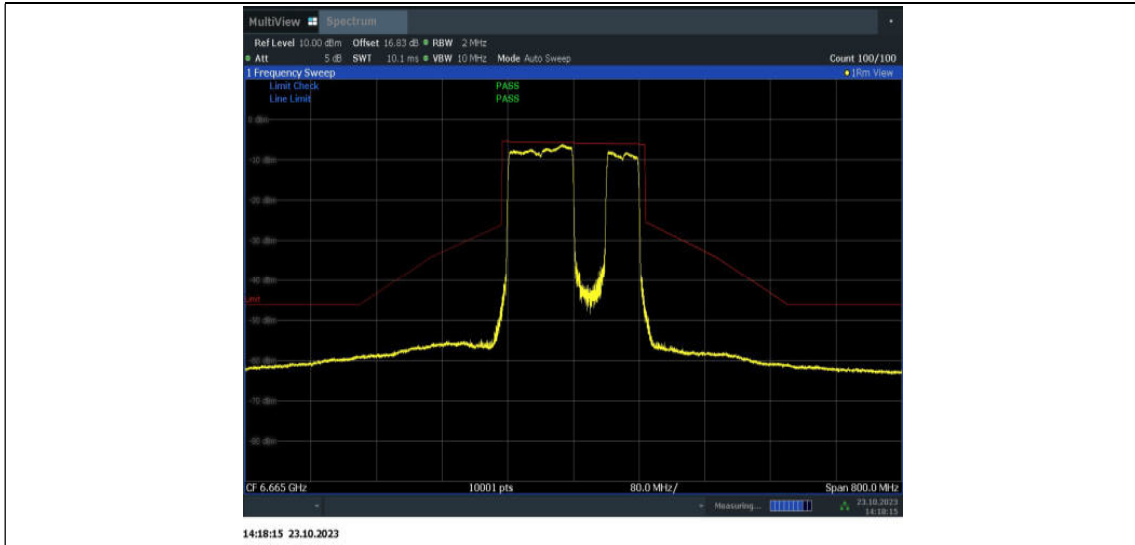
11BE160MIMO_Ant15_6665_996+484_OFDMA_1



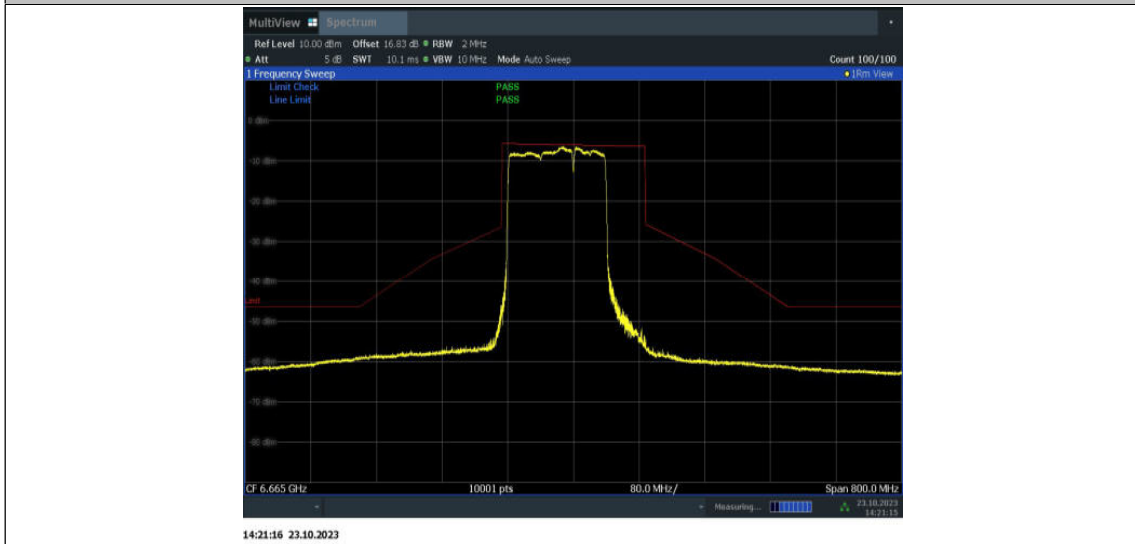
11BE160MIMO_Ant15_6665_996+484_OFDMA_2



11BE160MIMO_Ant15_6665_996+484_OFDMA_3



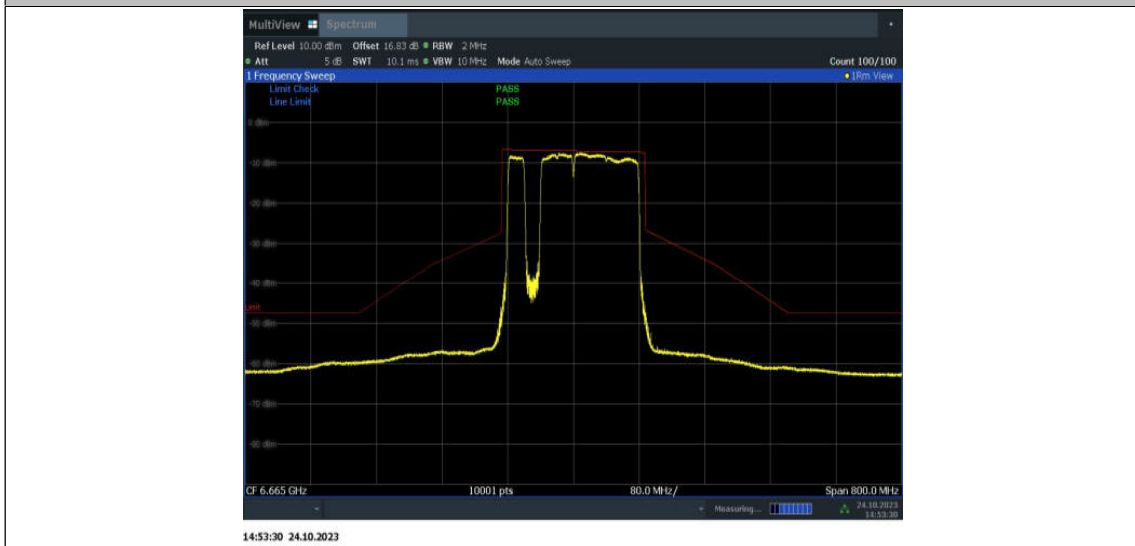
11BE160MIMO_Ant15_6665_996+484_OFDMA_4



11BE160MIMO_Ant15_6665_996+484+242_OFDMA_1



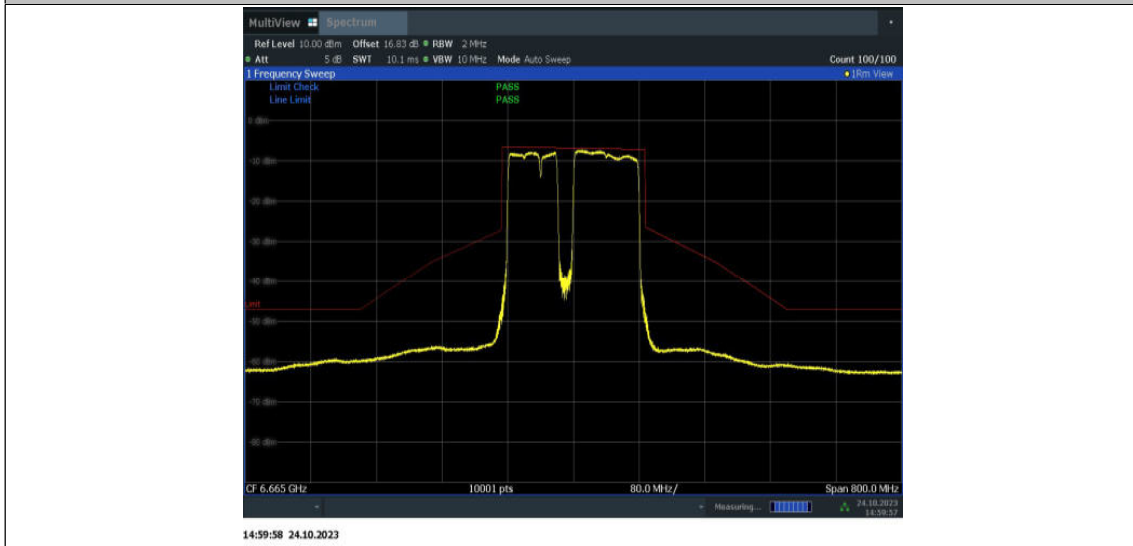
11BE160MIMO_Ant15_6665_996+484+242_OFDMA_2



11BE160MIMO_Ant15_6665_996+484+242_OFDMA_3



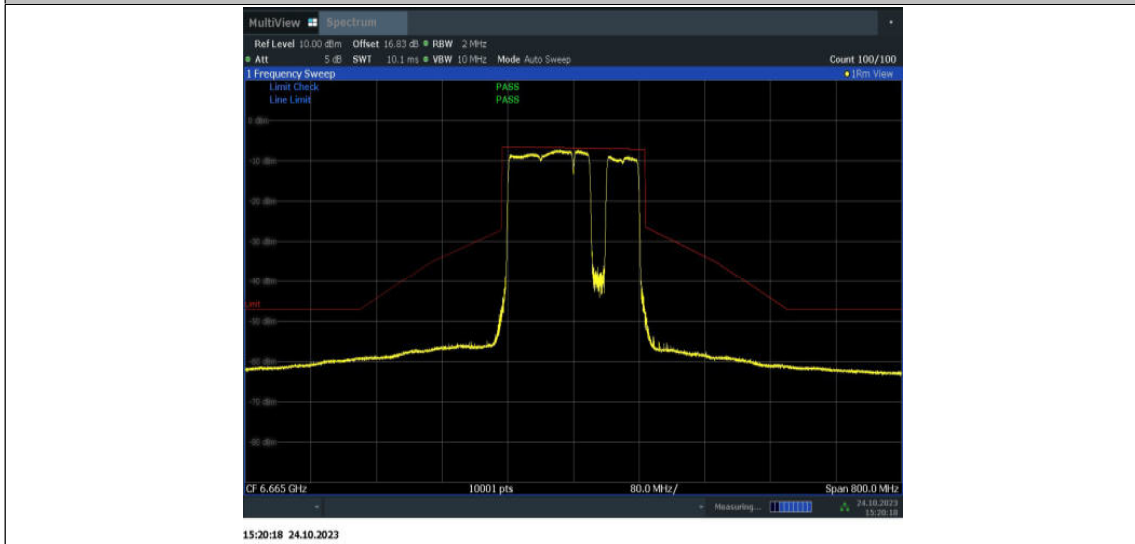
11BE160MIMO_Ant15_6665_996+484+242_OFDMA_4



11BE160MIMO_Ant15_6665_996+484+242_OFDMA_5



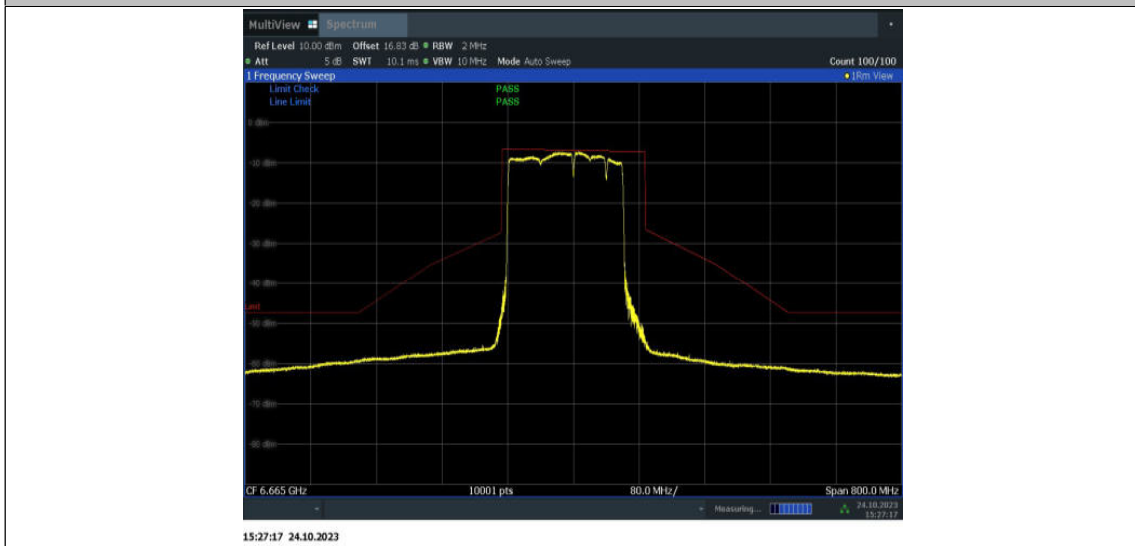
11BE160MIMO_Ant15_6665_996+484+242_OFDMA_6



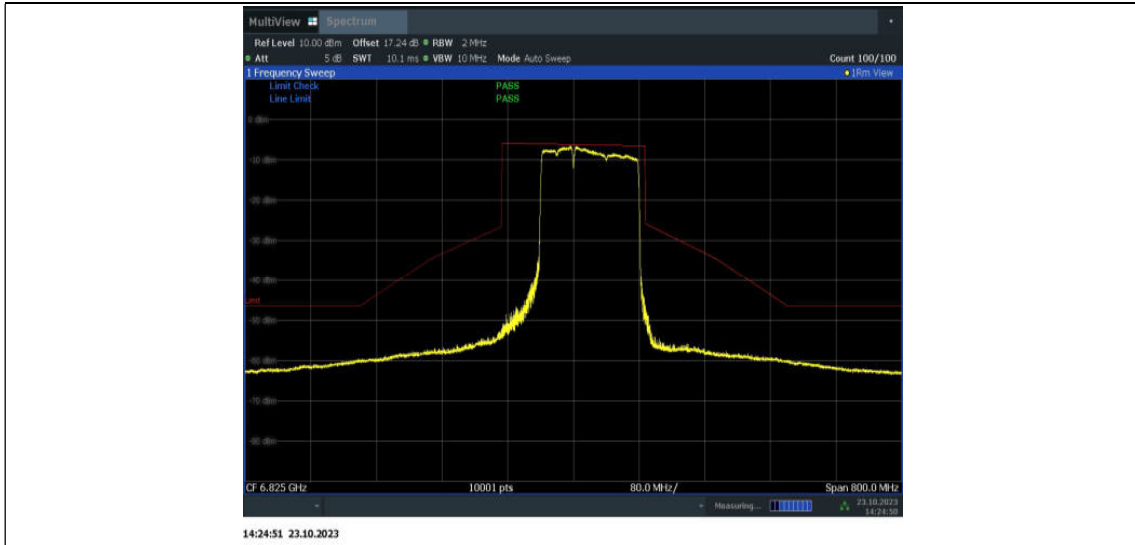
11BE160MIMO_Ant15_6665_996+484+242_OFDMA_7



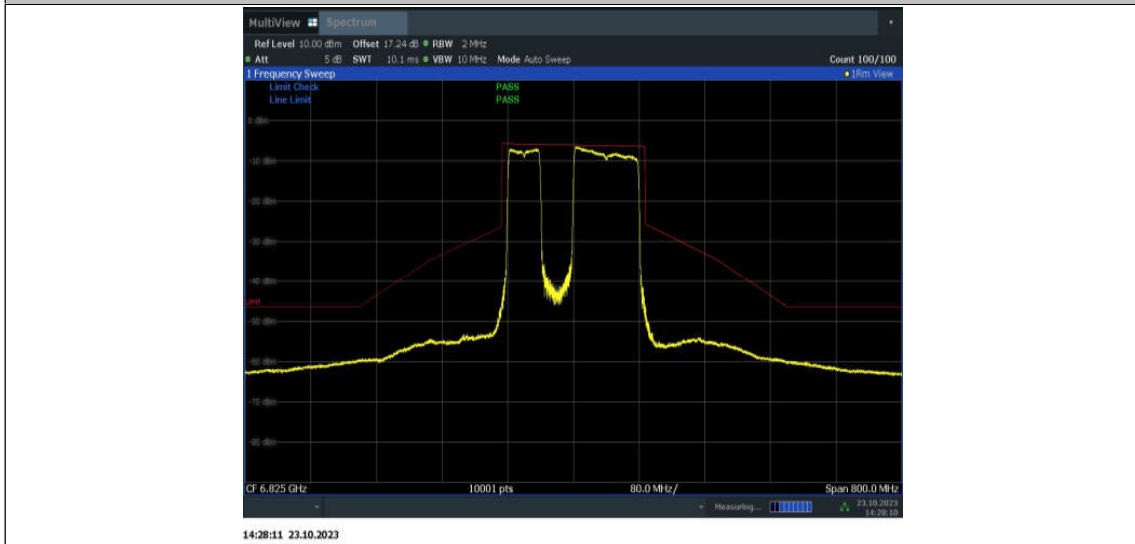
11BE160MIMO_Ant15_6665_996+484+242_OFDMA_8



11BE160MIMO_Ant9_6825_996+484_OFDMA_1



11BE160MIMO_Ant9_6825_996+484_OFDMA_2

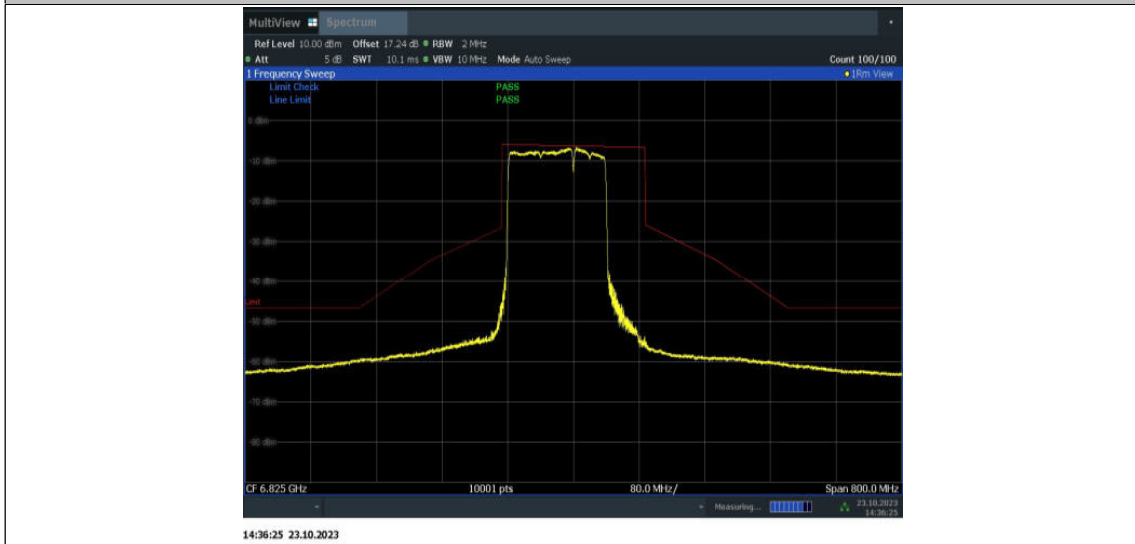


11BE160MIMO_Ant9_6825_996+484_OFDMA_3



14:31:43 23.10.2023

11BE160MIMO_Ant9_6825_996+484_OFDMA_4

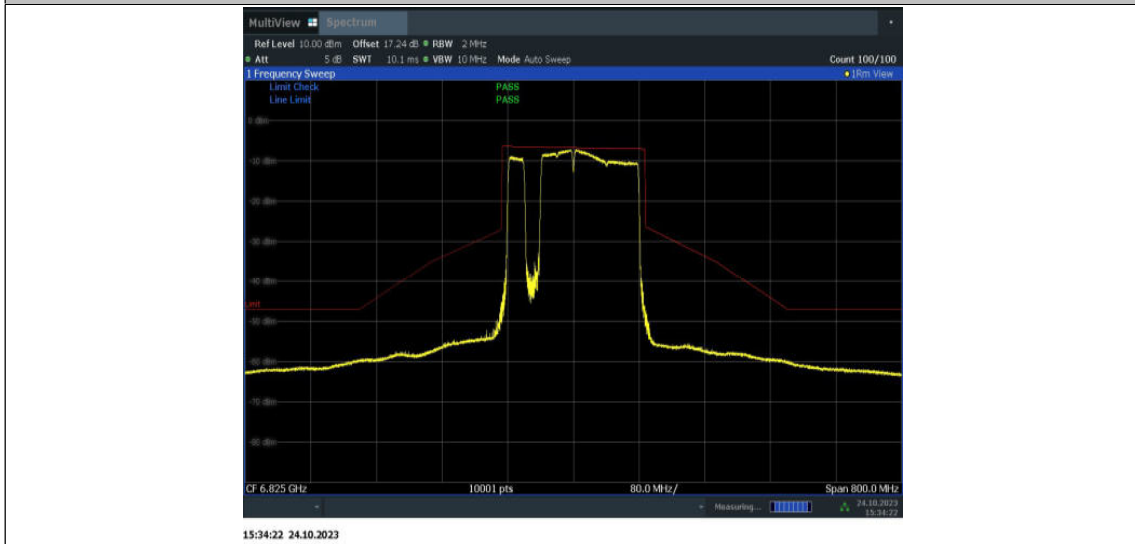


14:36:25 23.10.2023

11BE160MIMO_Ant9_6825_996+484+242_OFDMA_1



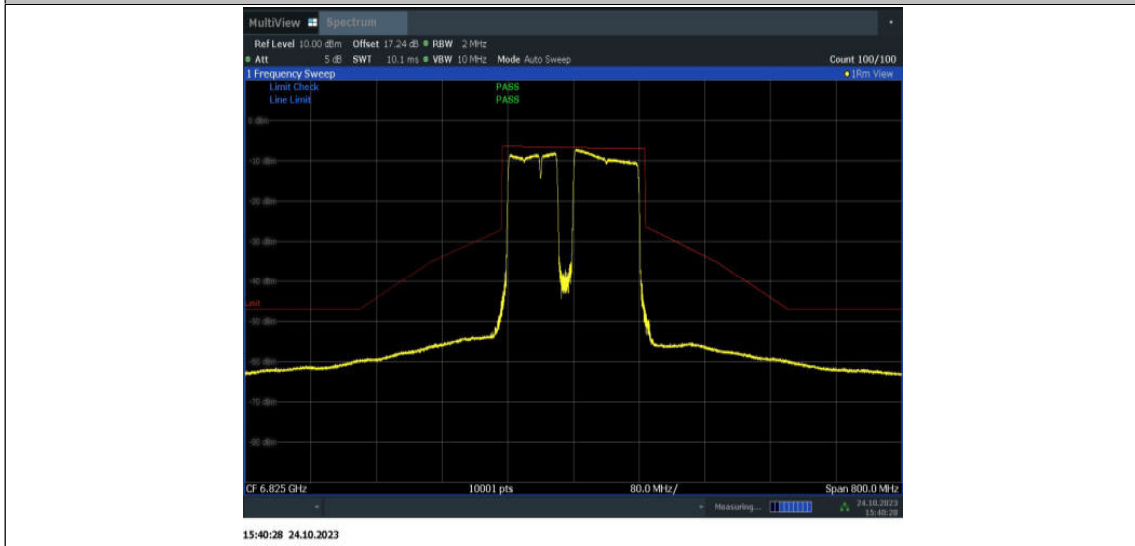
11BE160MIMO_Ant9_6825_996+484+242_OFDMA_2



11BE160MIMO_Ant9_6825_996+484+242_OFDMA_3



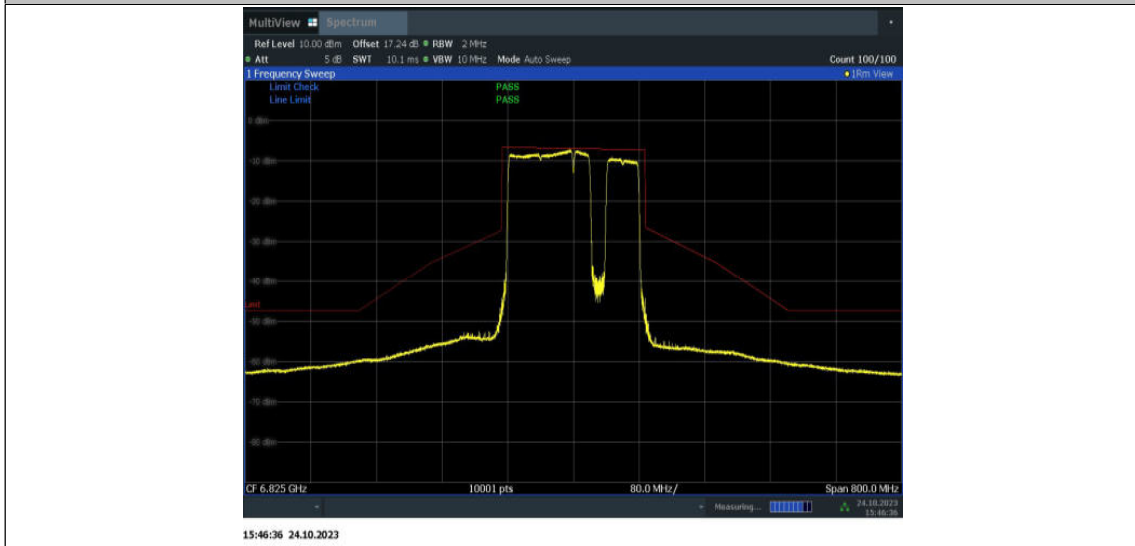
11BE160MIMO_Ant9_6825_996+484+242_OFDMA_4



11BE160MIMO_Ant9_6825_996+484+242_OFDMA_5



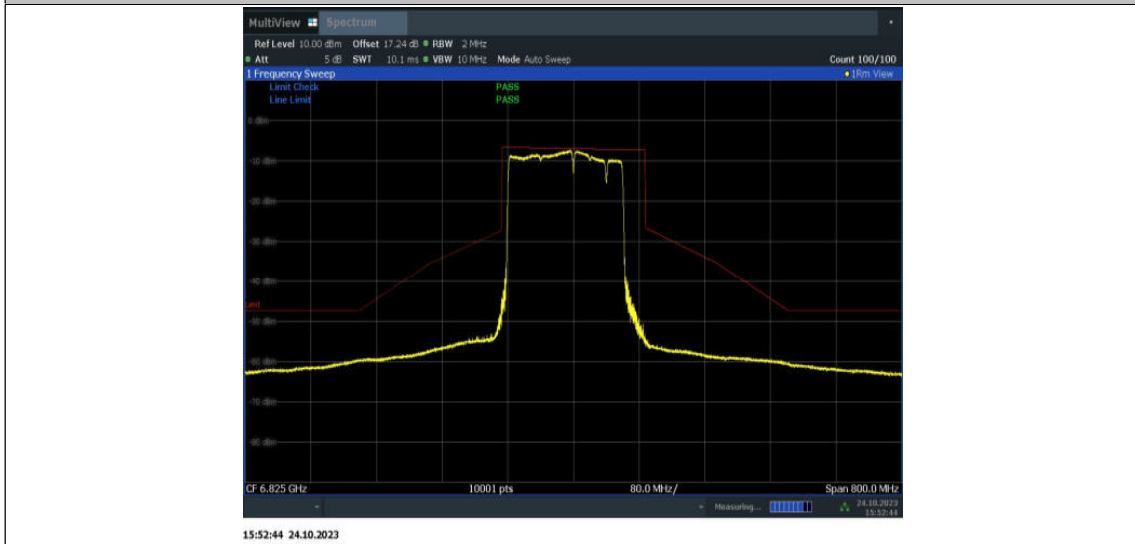
11BE160MIMO_Ant9_6825_996+484+242_OFDMA_6



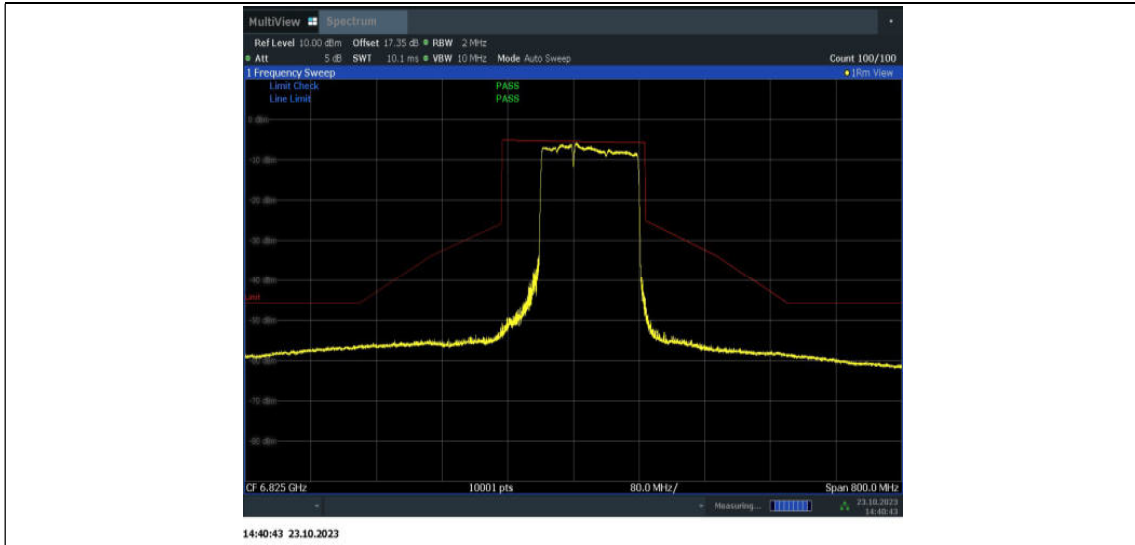
11BE160MIMO_Ant9_6825_996+484+242_OFDMA_7



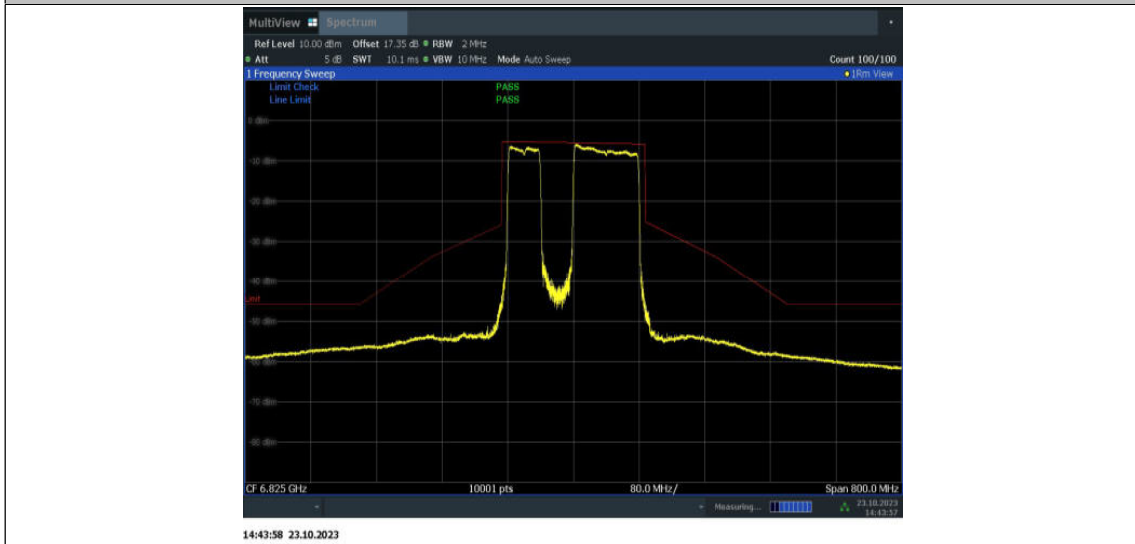
11BE160MIMO_Ant9_6825_996+484+242_OFDMA_8



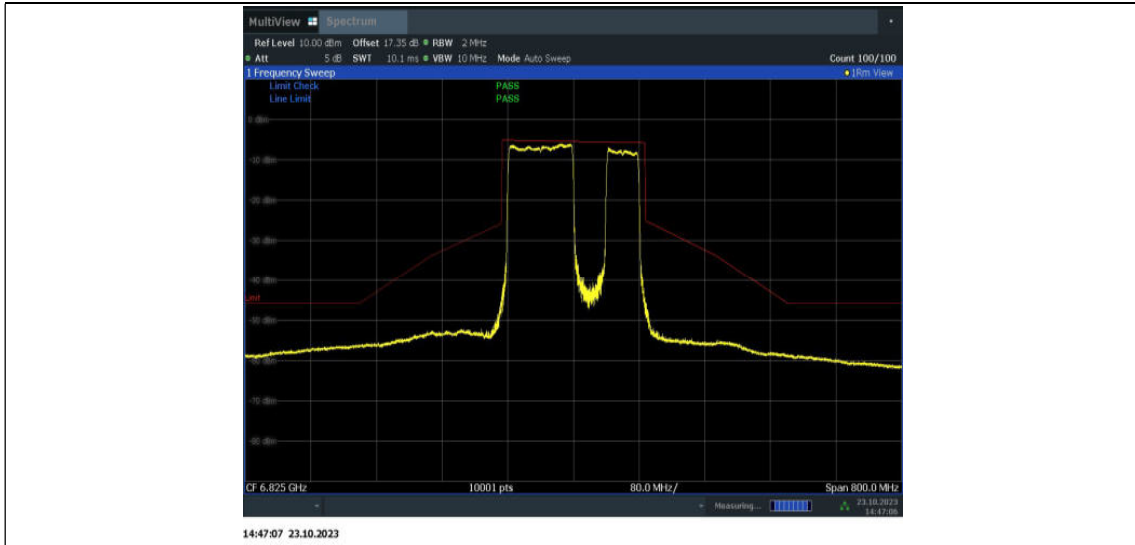
11BE160MIMO_Ant15_6825_996+484_OFDMA_1



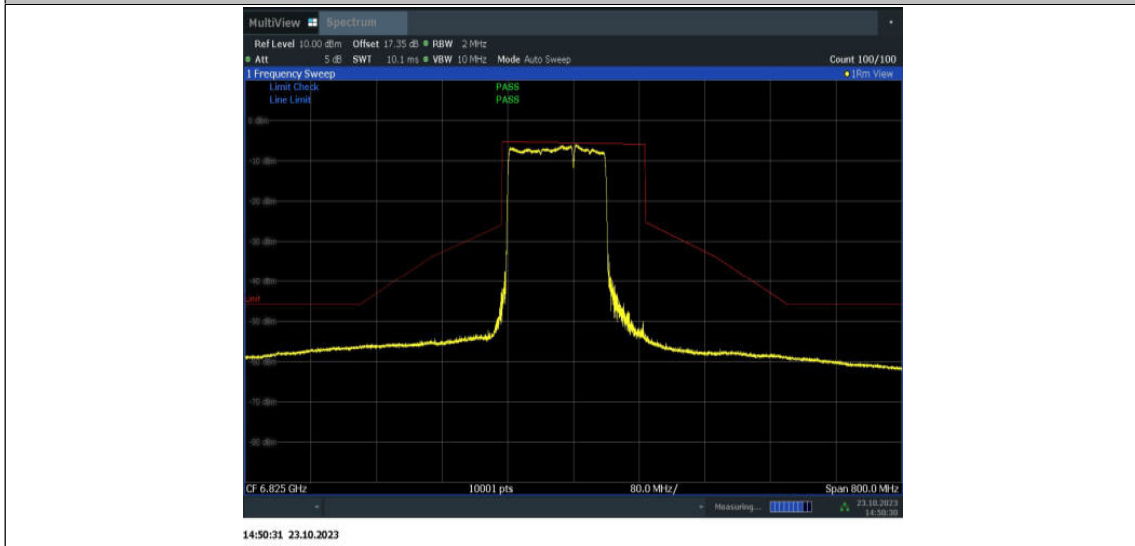
11BE160MIMO_Ant15_6825_996+484_OFDMA_2



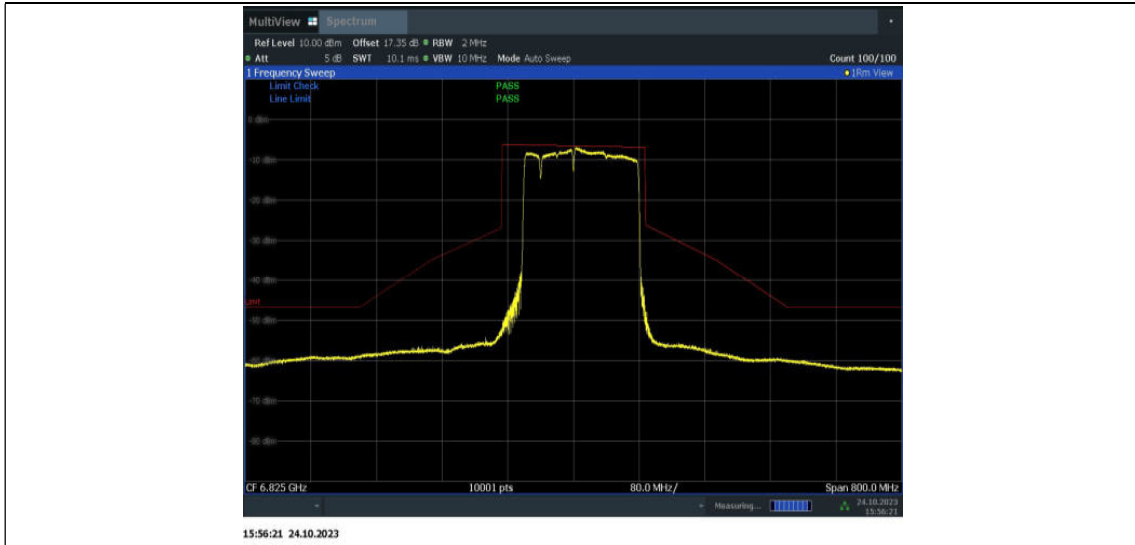
11BE160MIMO_Ant15_6825_996+484_OFDMA_3



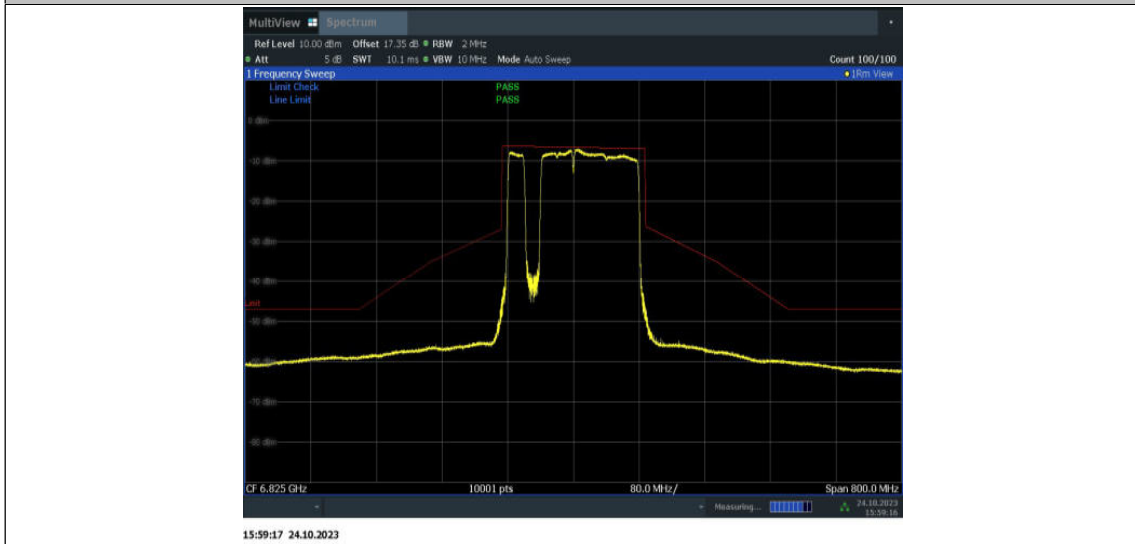
11BE160MIMO_Ant15_6825_996+484_OFDMA_4



11BE160MIMO_Ant15_6825_996+484+242_OFDMA_1



11BE160MIMO_Ant15_6825_996+484+242_OFDMA_2



11BE160MIMO_Ant15_6825_996+484+242_OFDMA_3



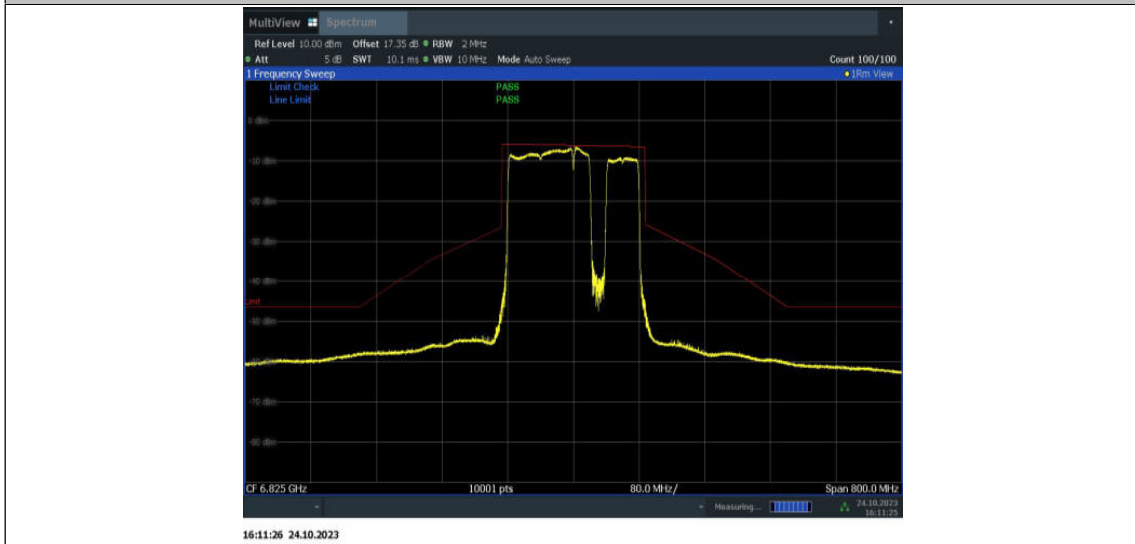
11BE160MIMO_Ant15_6825_996+484+242_OFDMA_4



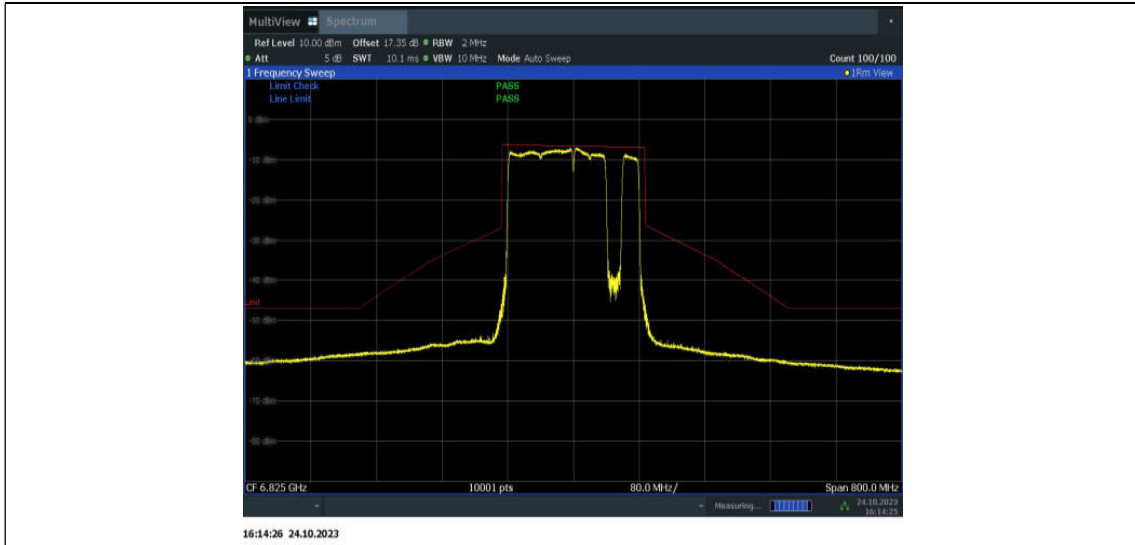
11BE160MIMO_Ant15_6825_996+484+242_OFDMA_5



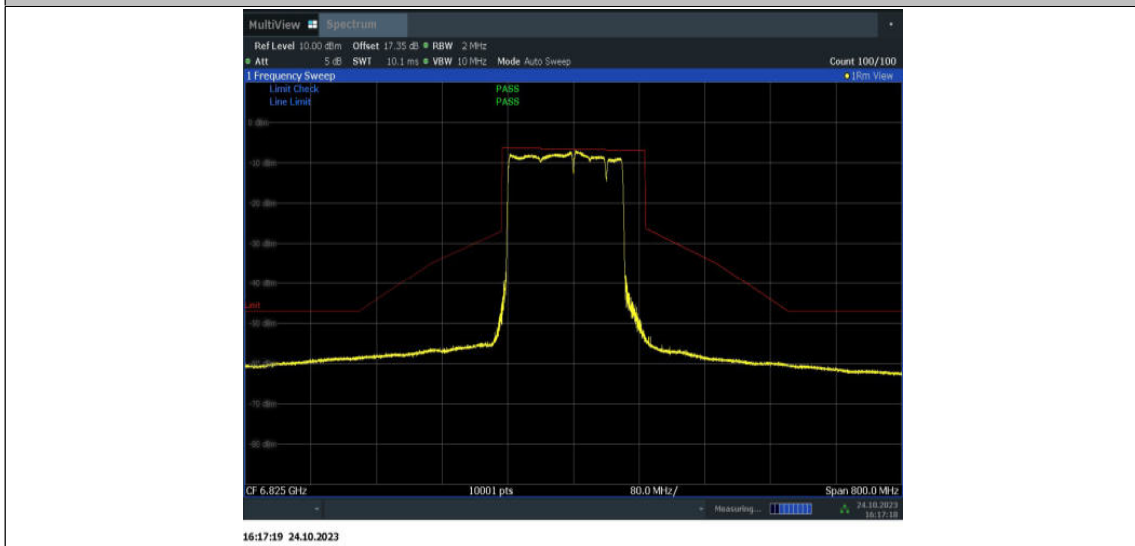
11BE160MIMO_Ant15_6825_996+484+242_OFDMA_6



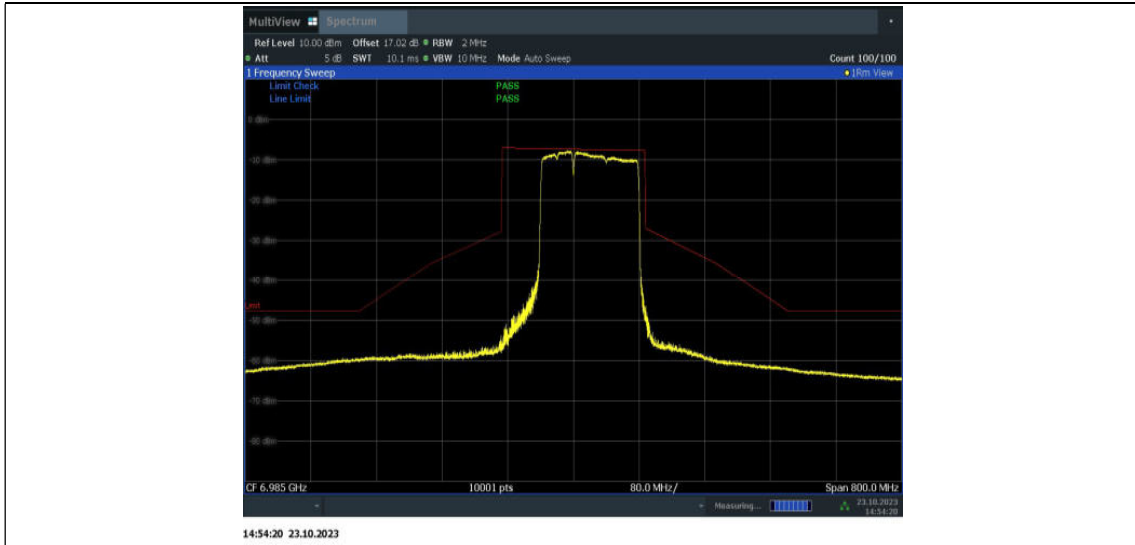
11BE160MIMO_Ant15_6825_996+484+242_OFDMA_7



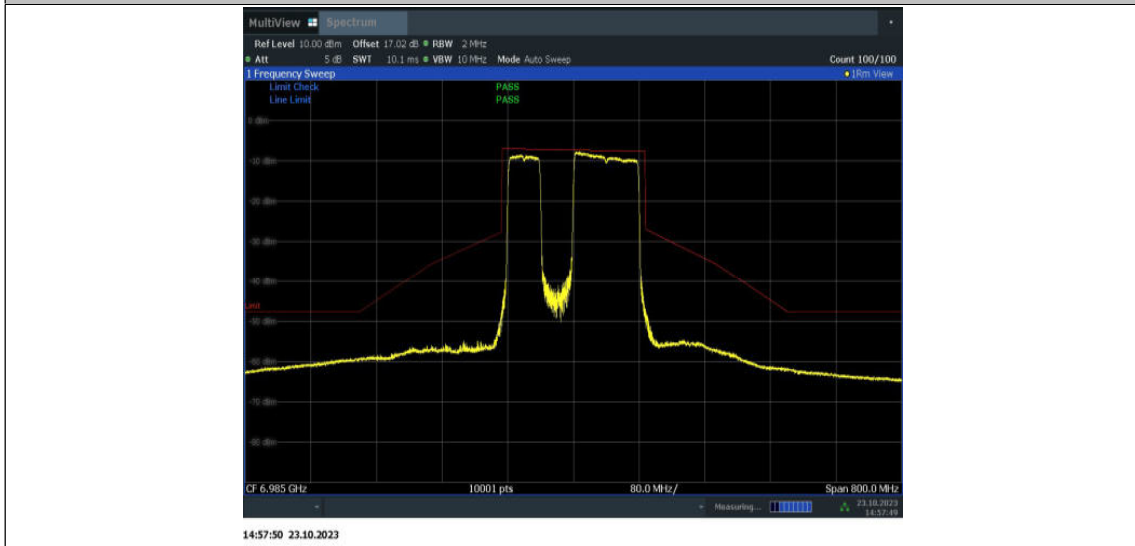
11BE160MIMO_Ant15_6825_996+484+242_OFDMA_8



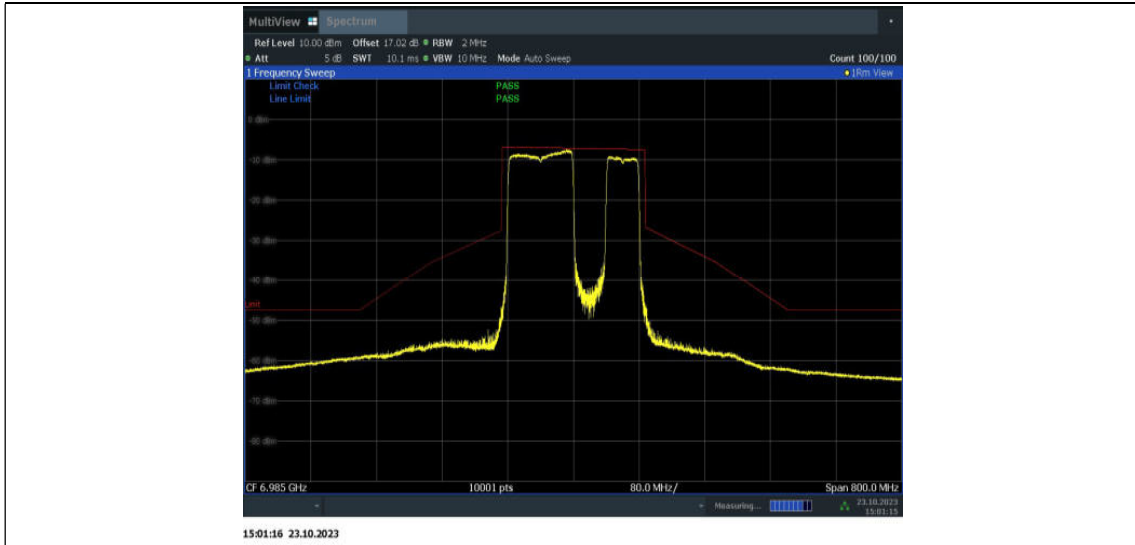
11BE160MIMO_Ant9_6985_996+484_OFDMA_1



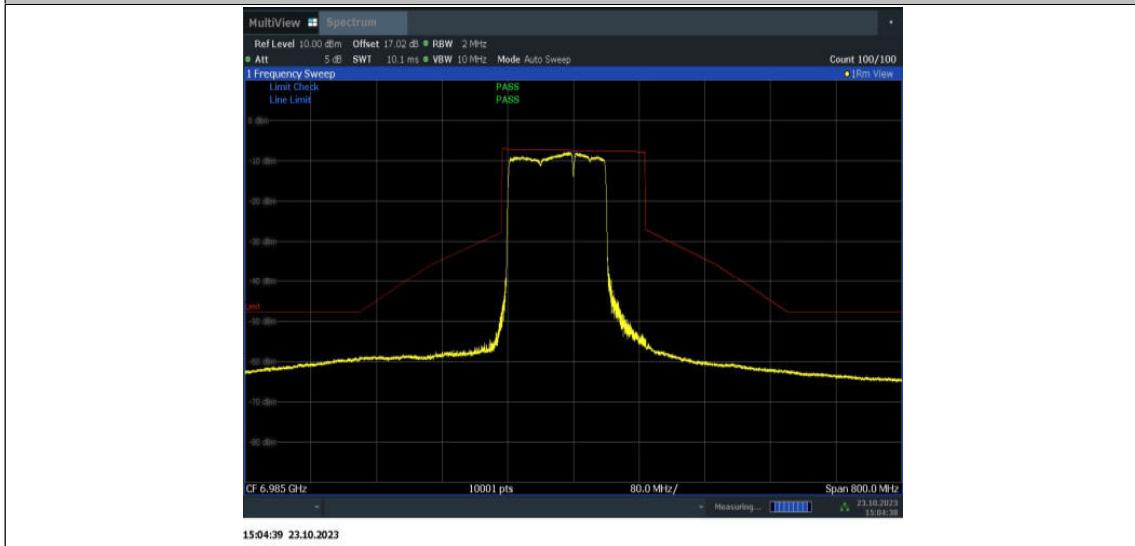
11BE160MIMO_Ant9_6985_996+484_OFDMA_2



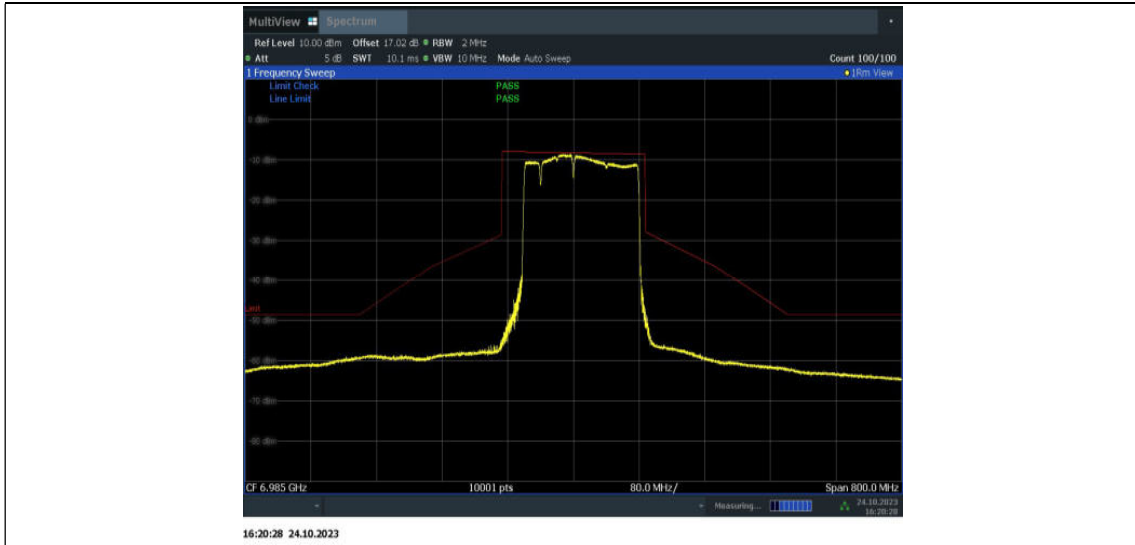
11BE160MIMO_Ant9_6985_996+484_OFDMA_3



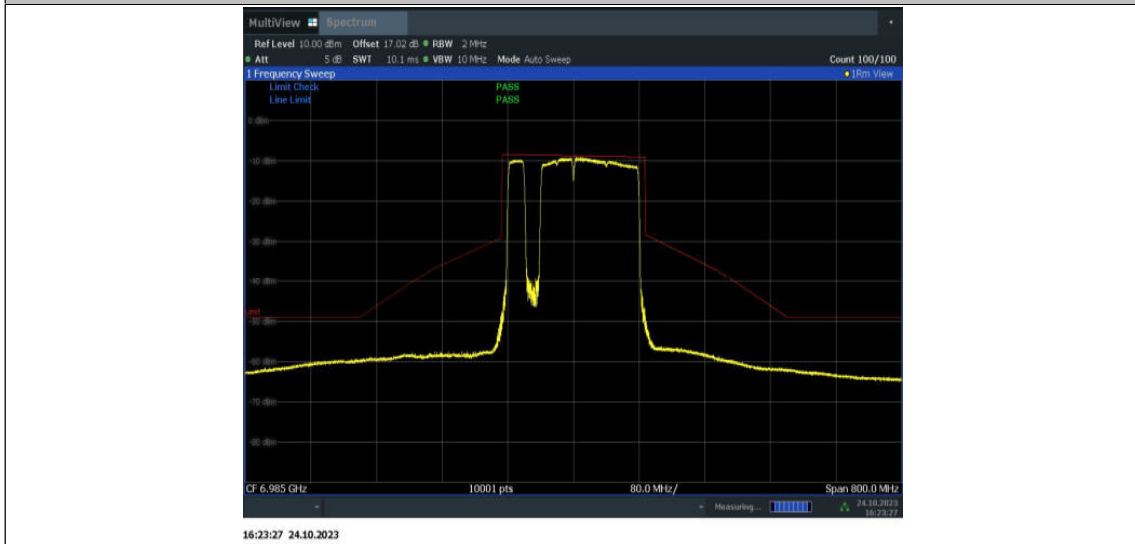
11BE160MIMO_Ant9_6985_996+484_OFDMA_4



11BE160MIMO_Ant9_6985_996+484+242_OFDMA_1



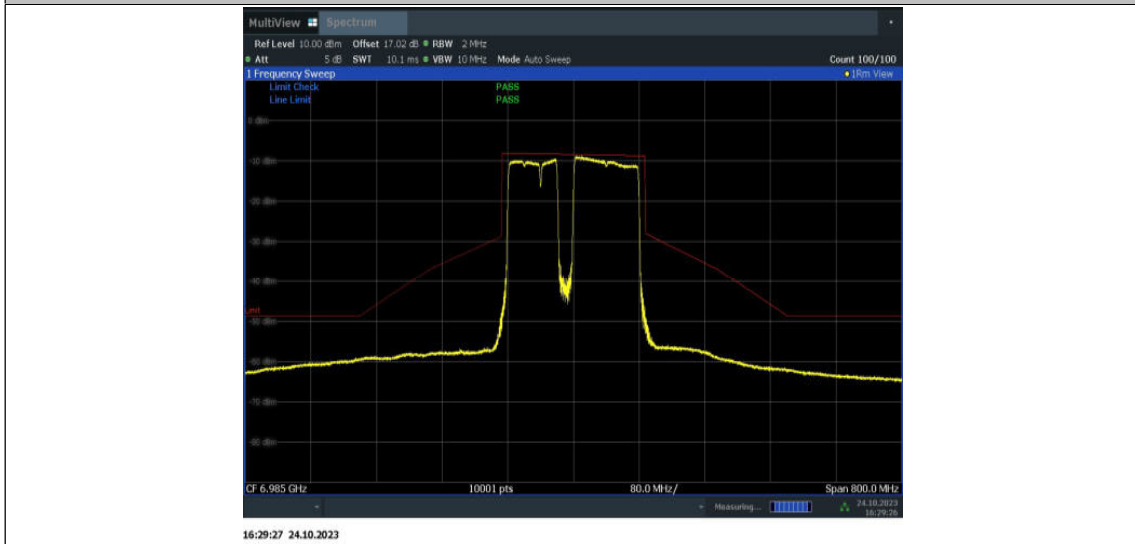
11BE160MIMO_Ant9_6985_996+484+242_OFDMA_2



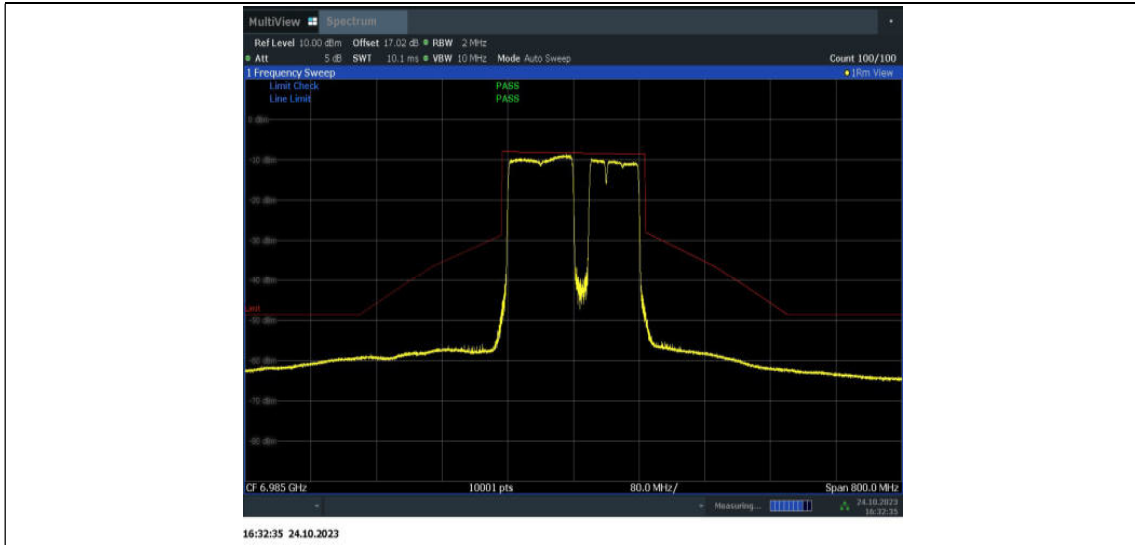
11BE160MIMO_Ant9_6985_996+484+242_OFDMA_3



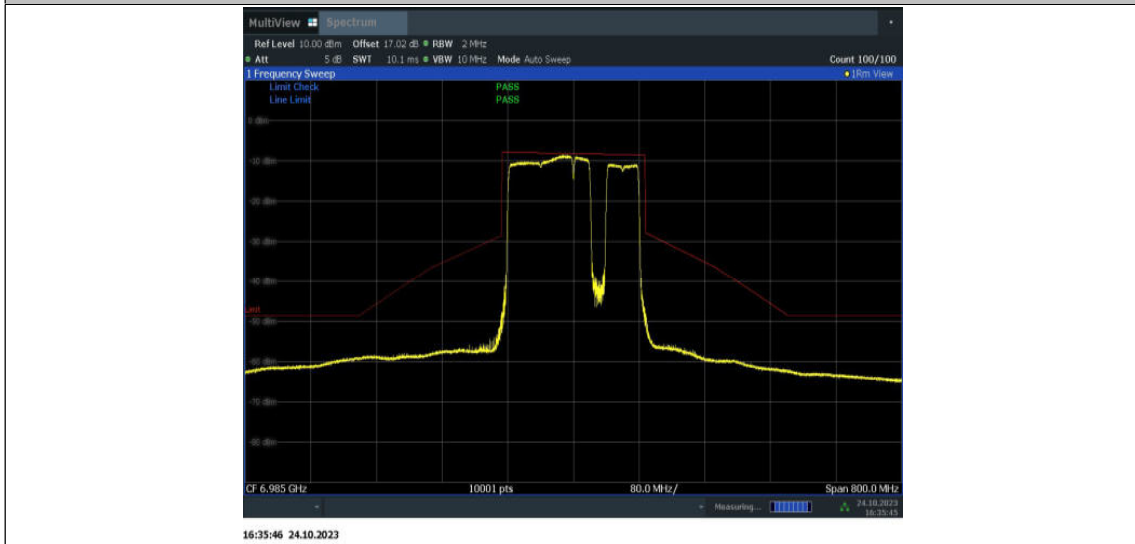
11BE160MIMO_Ant9_6985_996+484+242_OFDMA_4



11BE160MIMO_Ant9_6985_996+484+242_OFDMA_5



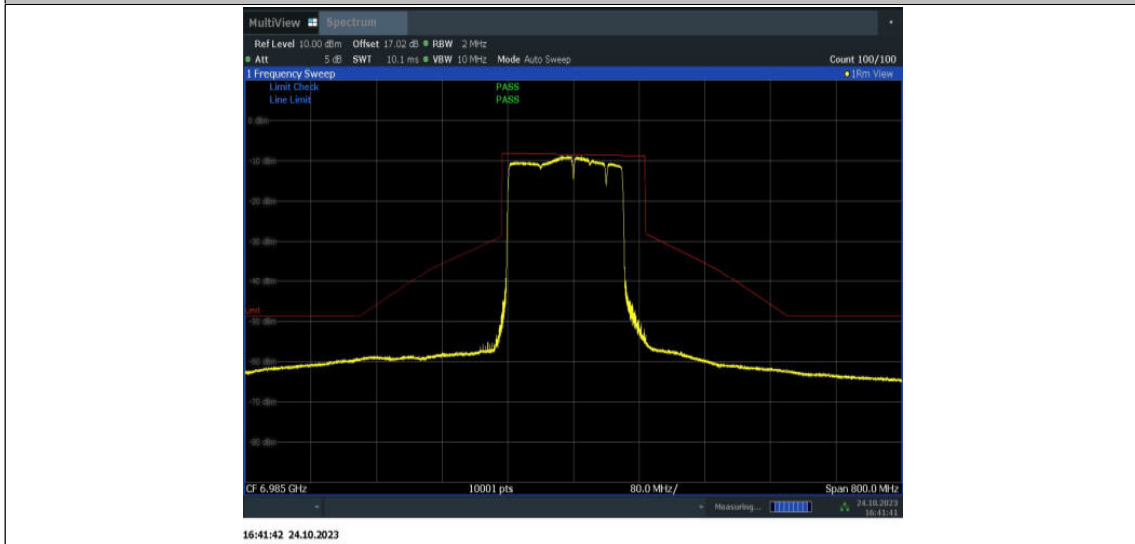
11BE160MIMO_Ant9_6985_996+484+242_OFDMA_6



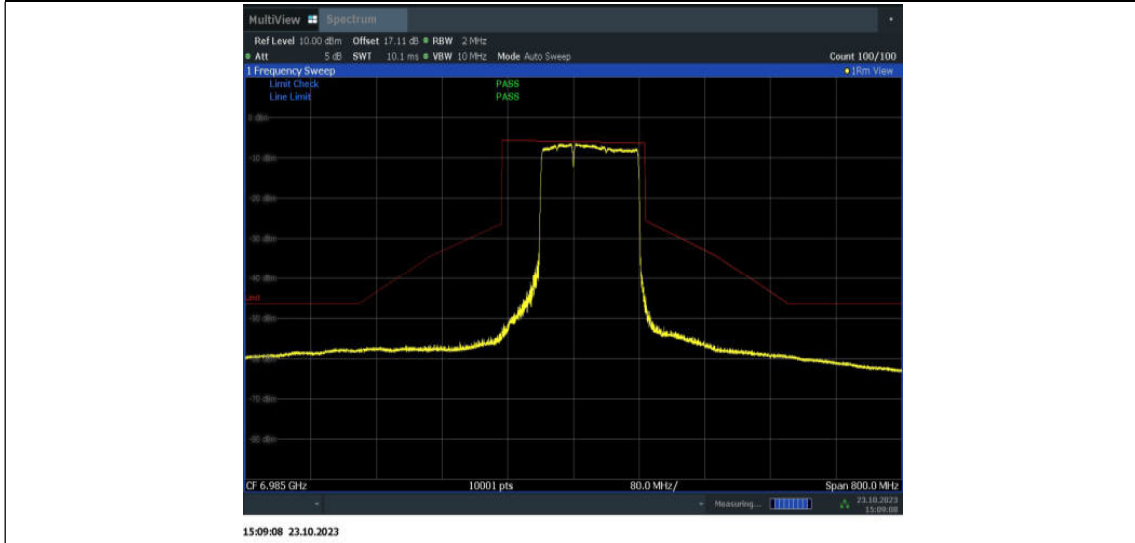
11BE160MIMO_Ant9_6985_996+484+242_OFDMA_7



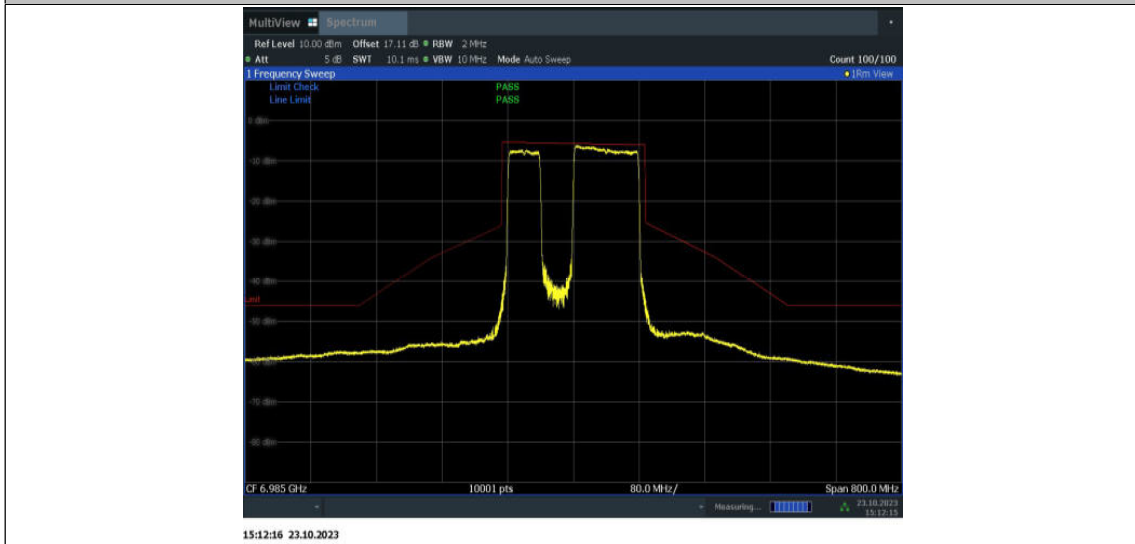
11BE160MIMO_Ant9_6985_996+484+242_OFDMA_8



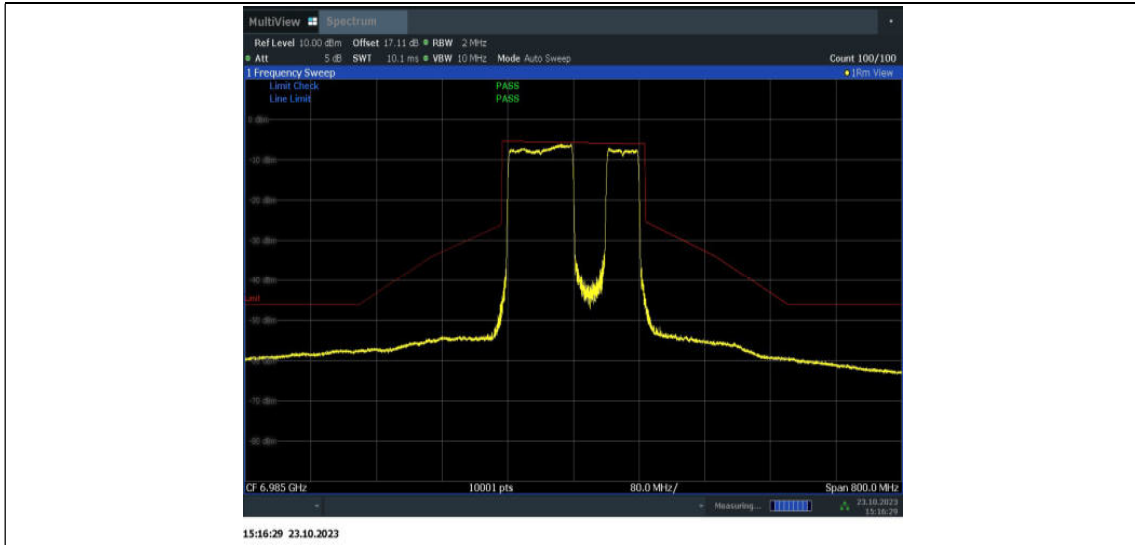
11BE160MIMO_Ant15_6985_996+484_OFDMA_1



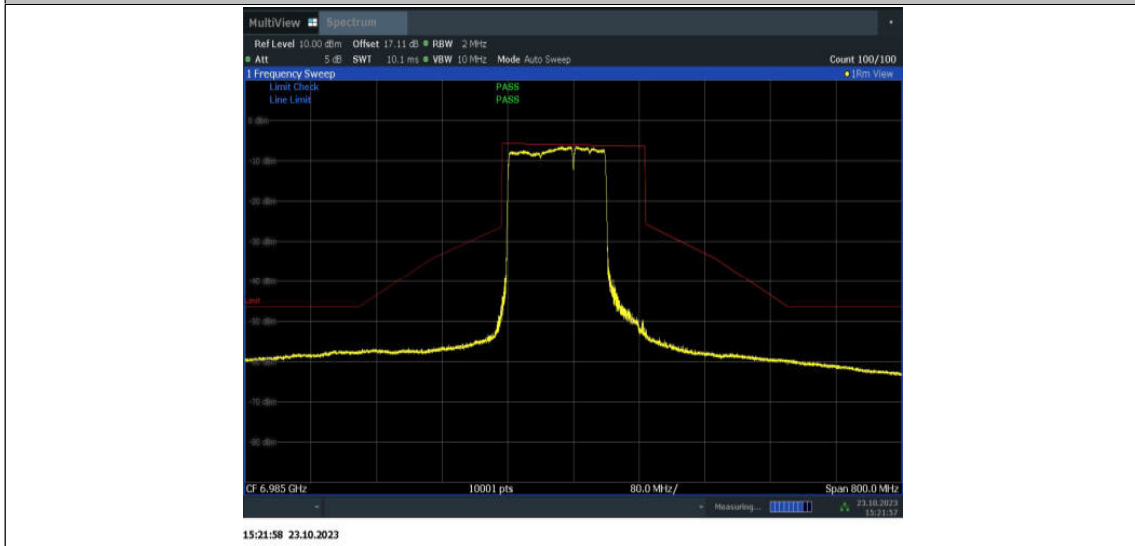
11BE160MIMO_Ant15_6985_996+484_OFDMA_2



11BE160MIMO_Ant15_6985_996+484_OFDMA_3



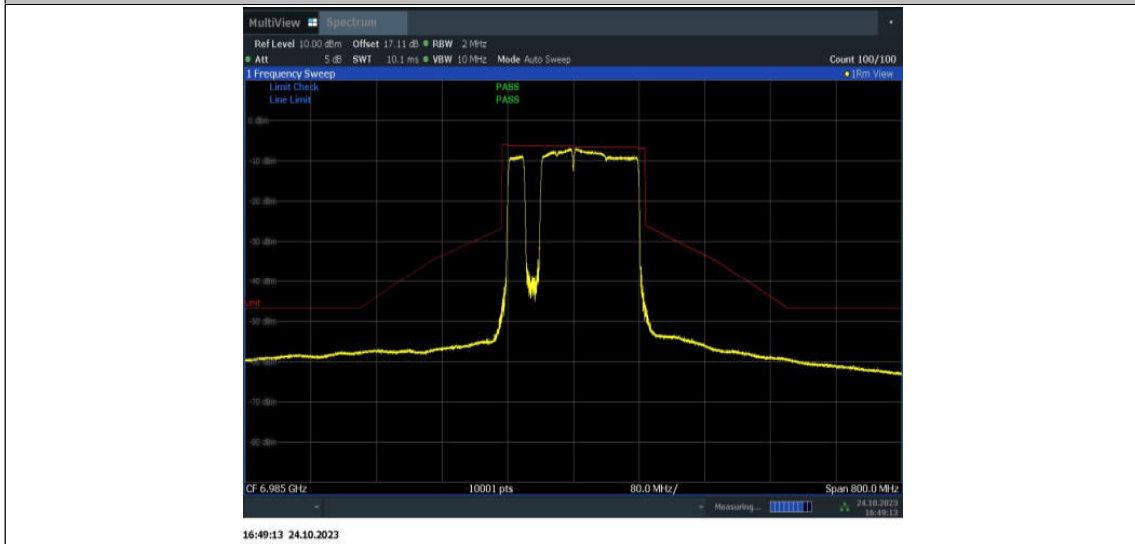
11BE160MIMO_Ant15_6985_996+484_OFDMA_4



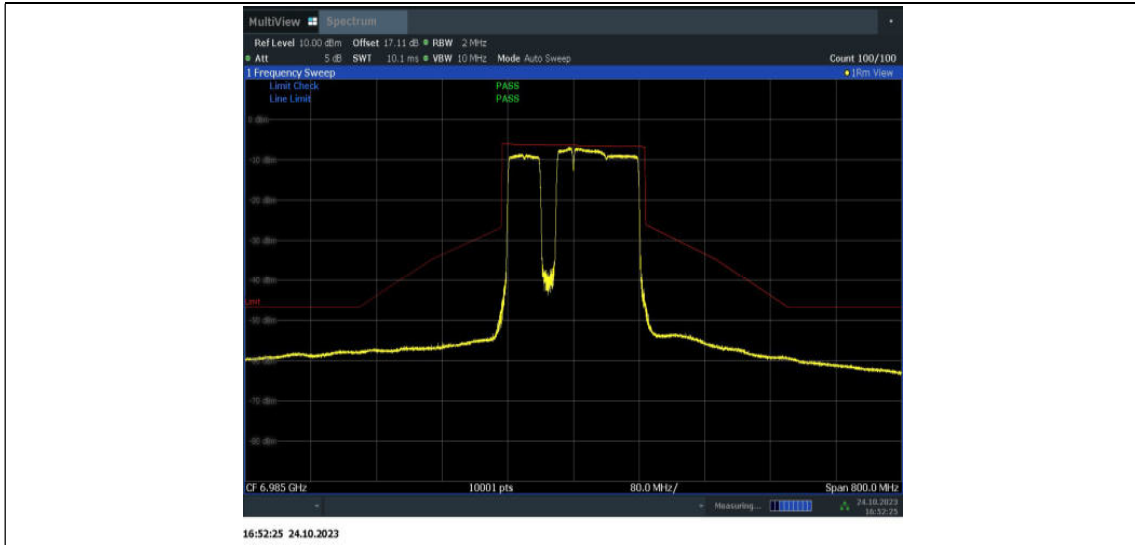
11BE160MIMO_Ant15_6985_996+484+242_OFDMA_1



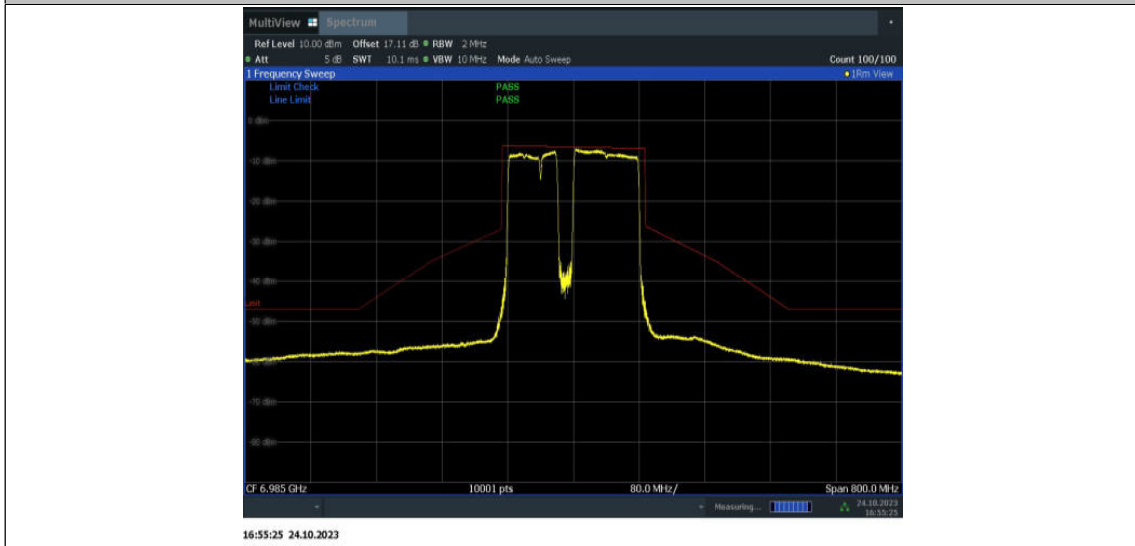
11BE160MIMO_Ant15_6985_996+484+242_OFDMA_2



11BE160MIMO_Ant15_6985_996+484+242_OFDMA_3



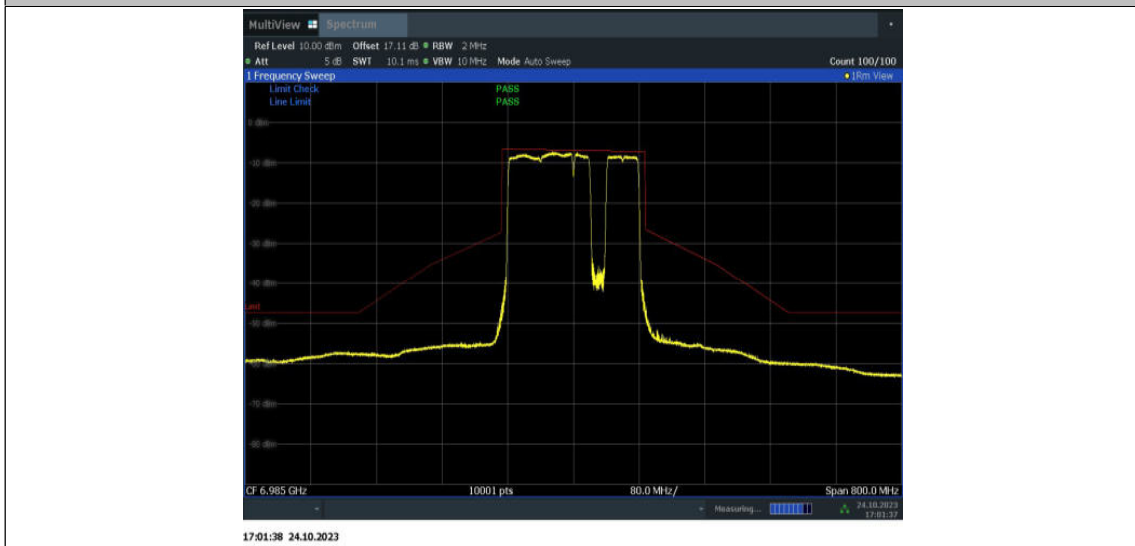
11BE160MIMO_Ant15_6985_996+484+242_OFDMA_4



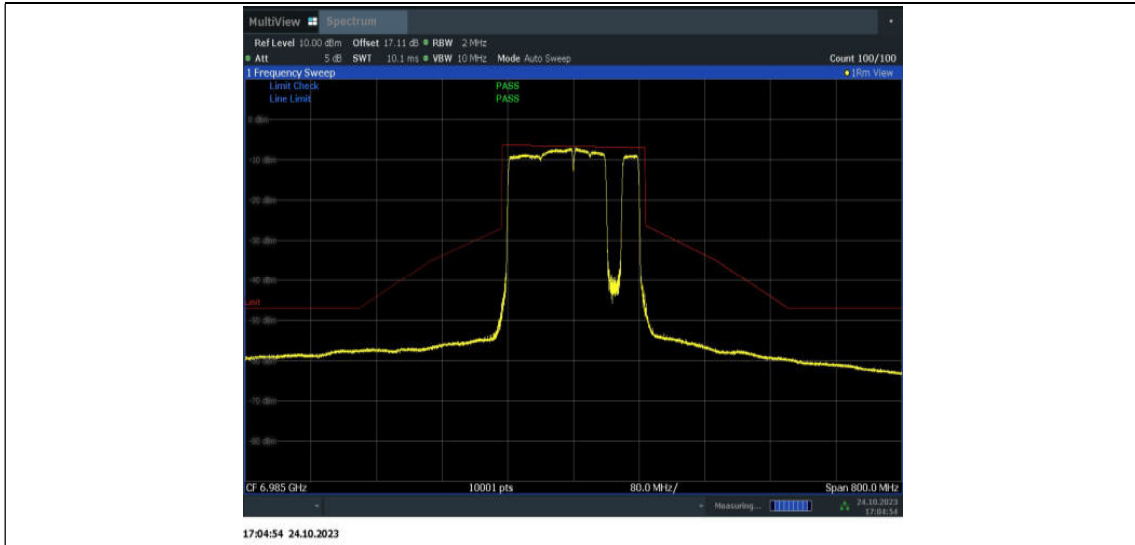
11BE160MIMO_Ant15_6985_996+484+242_OFDMA_5



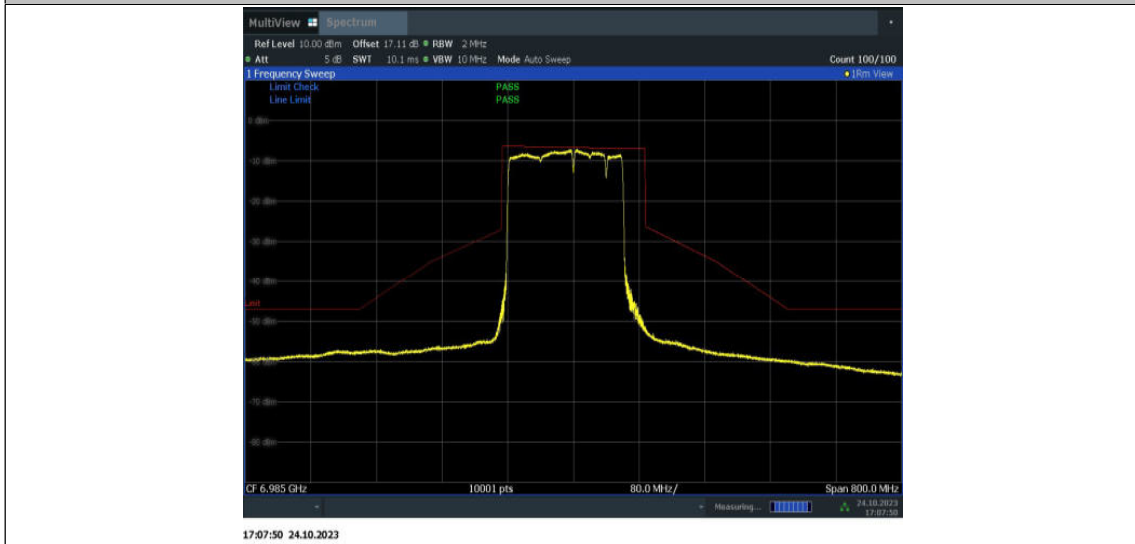
11BE160MIMO_Ant15_6985_996+484+242_OFDMA_6



11BE160MIMO_Ant15_6985_996+484+242_OFDMA_7



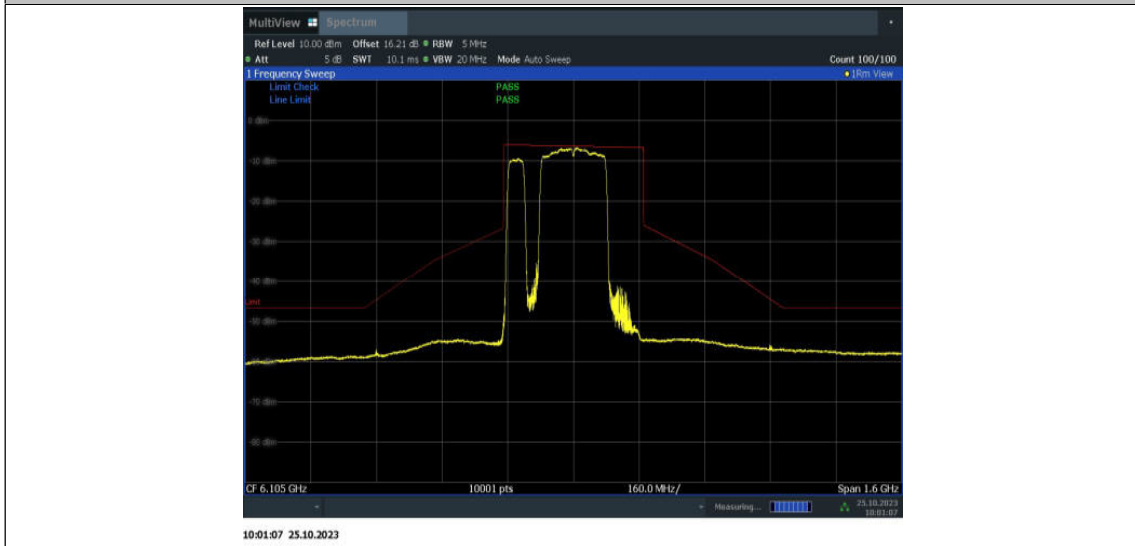
11BE160MIMO_Ant15_6985_996+484+242_OFDMA_8



11BE320MIMO_Ant9_6105_2*996+484_OFDMA_1



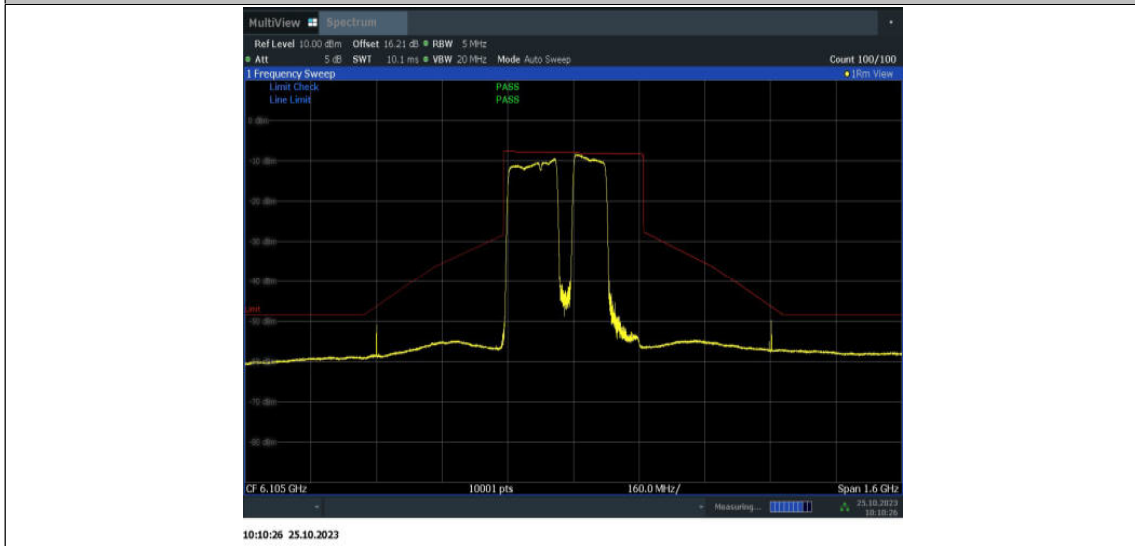
11BE320MIMO_Ant9_6105_2*996+484_OFDMA_2



11BE320MIMO_Ant9_6105_2*996+484_OFDMA_3



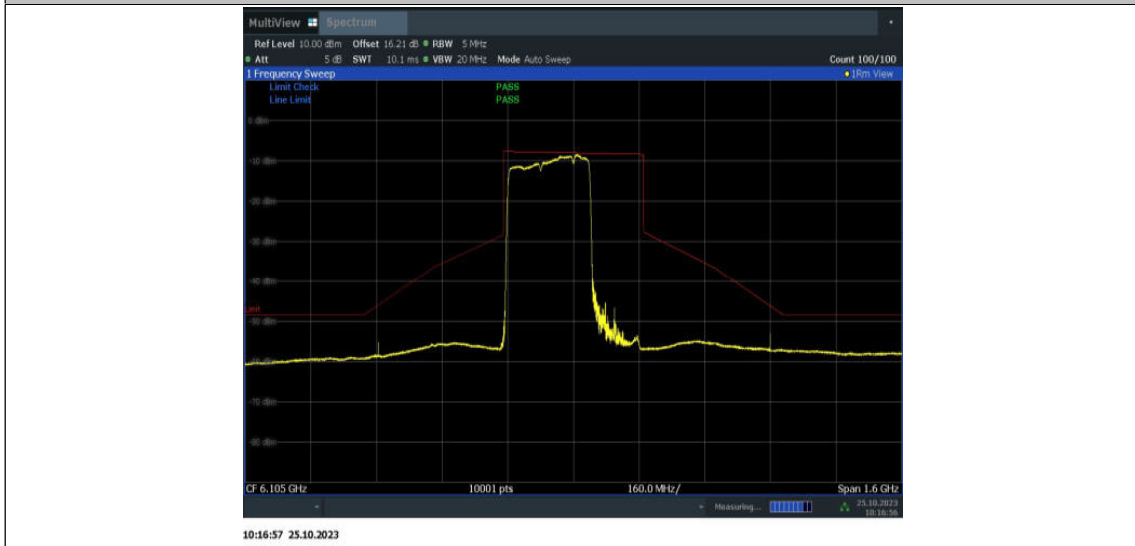
11BE320MIMO_Ant9_6105_2*996+484_OFDMA_4



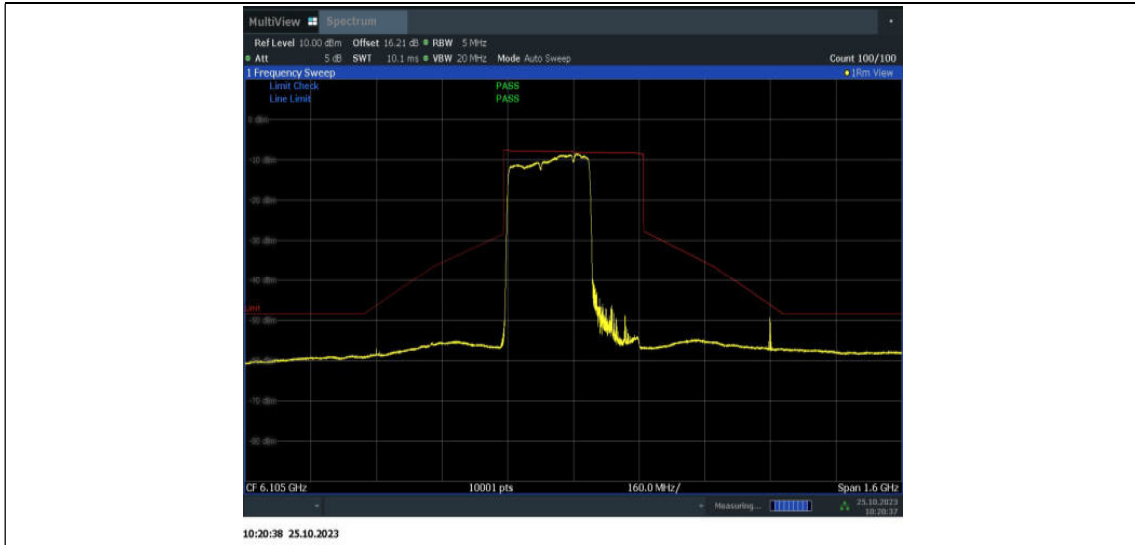
11BE320MIMO_Ant9_6105_2*996+484_OFDMA_5



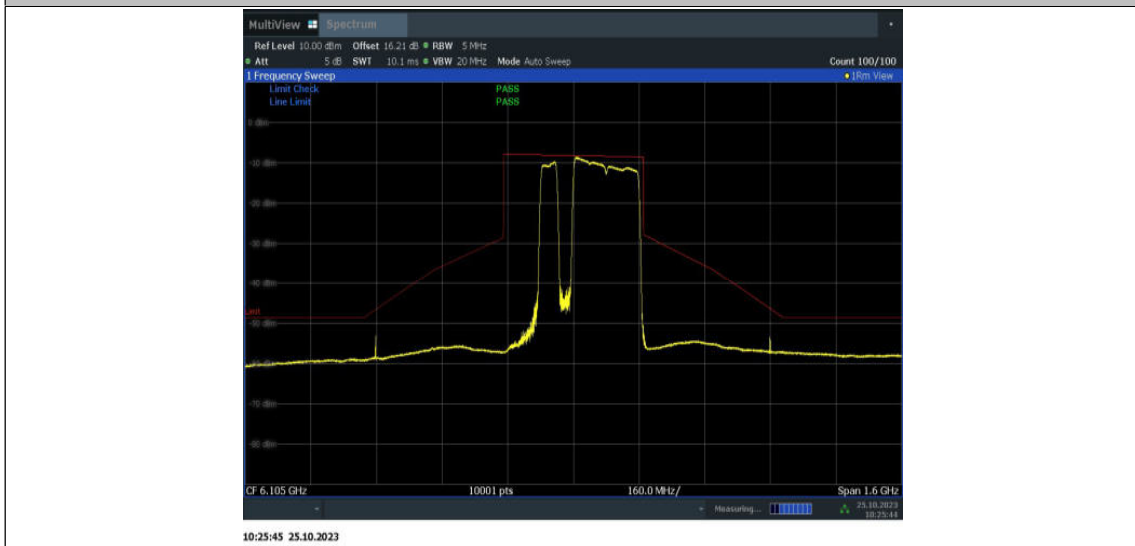
11BE320MIMO_Ant9_6105_2*996+484_OFDMA_6



11BE320MIMO_Ant9_6105_2*996+484_OFDMA_7



11BE320MIMO_Ant9_6105_2*996+484_OFDMA_8



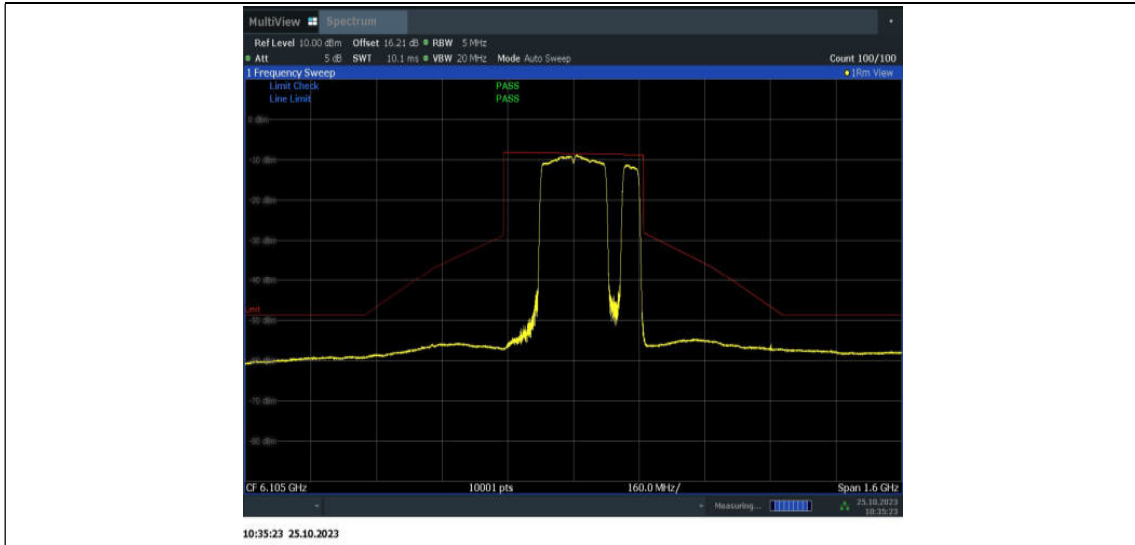
11BE320MIMO_Ant9_6105_2*996+484_OFDMA_9



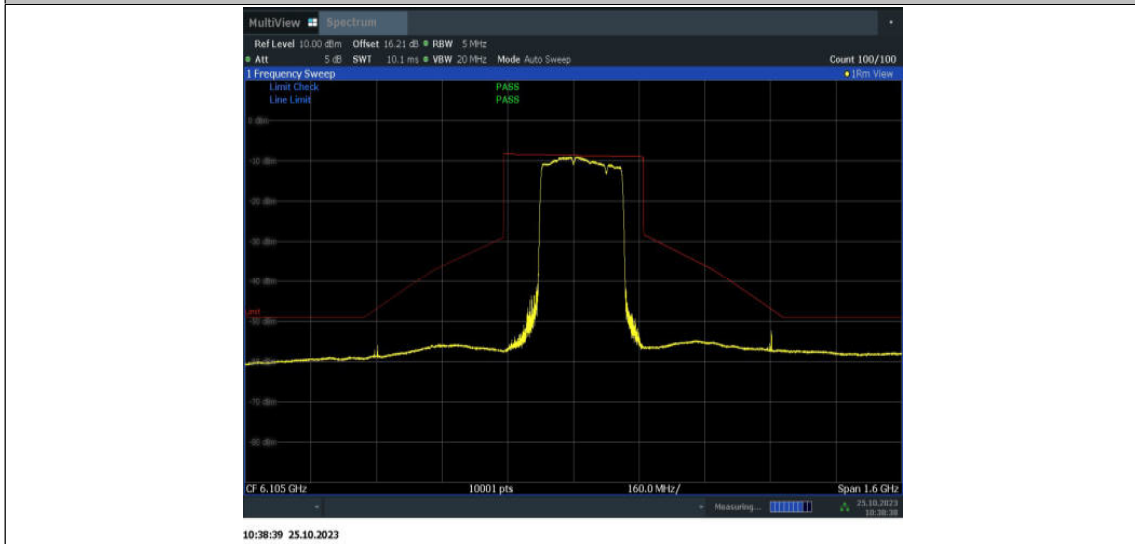
11BE320MIMO_Ant9_6105_2*996+484_OFDMA_10



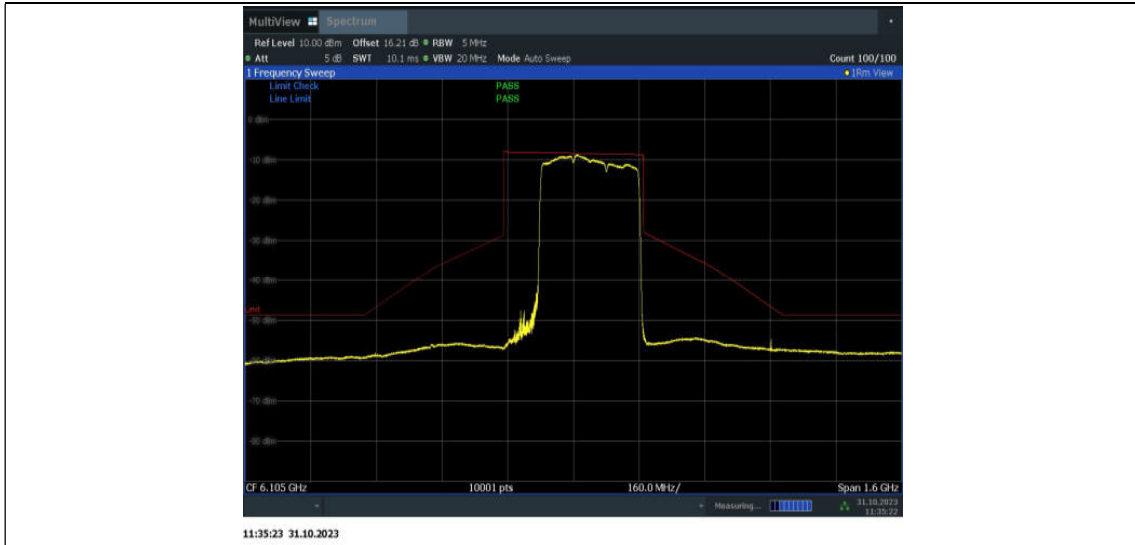
11BE320MIMO_Ant9_6105_2*996+484_OFDMA_11



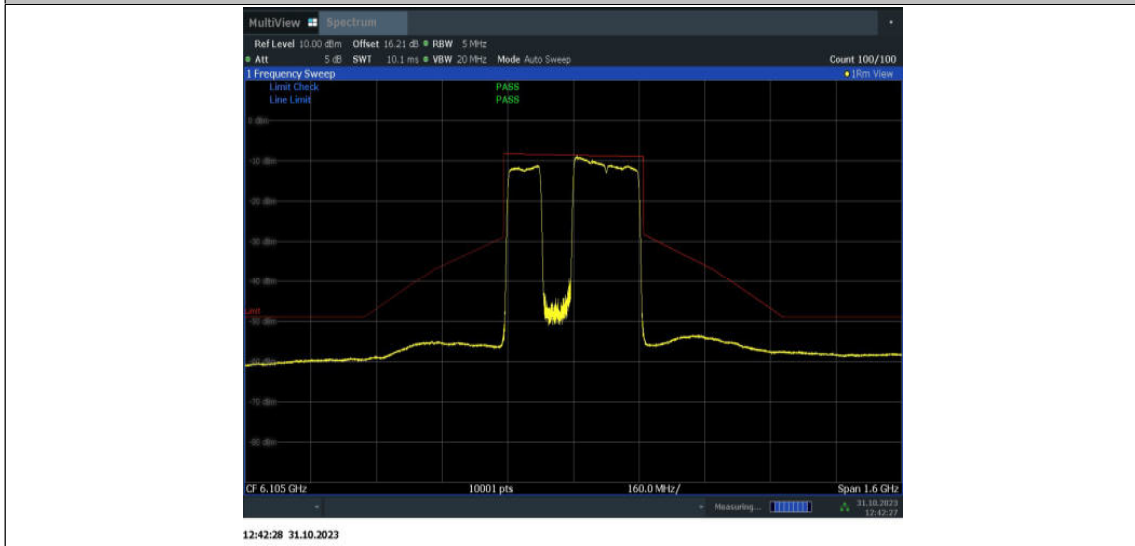
11BE320MIMO_Ant9_6105_2*996+484_OFDMA_12



11BE320MIMO_Ant9_6105_3*996_OFDMA_1



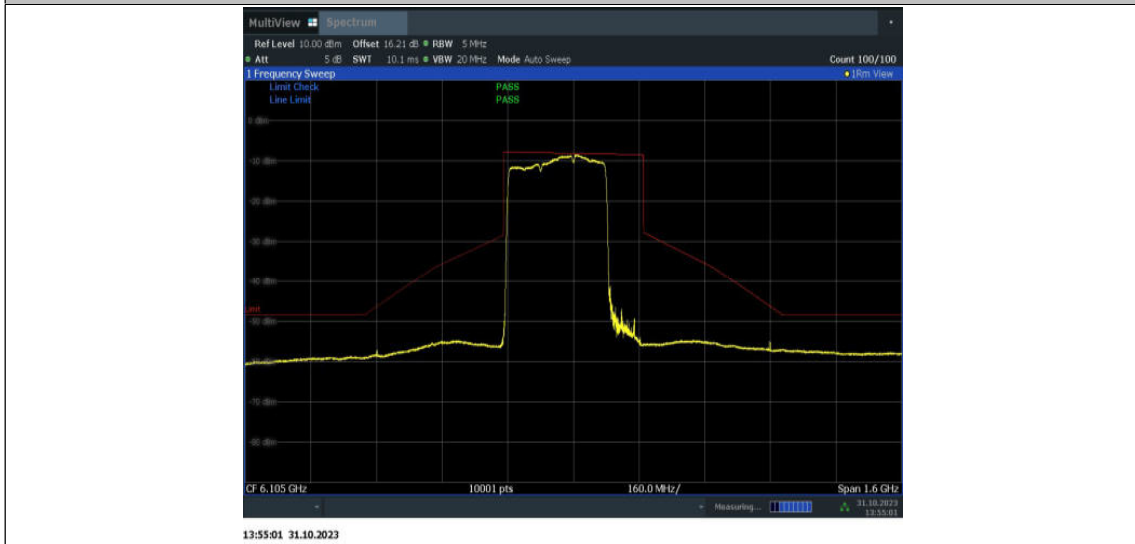
11BE320MIMO_Ant9_6105_3*996_OFDMA_2



11BE320MIMO_Ant9_6105_3*996_OFDMA_3



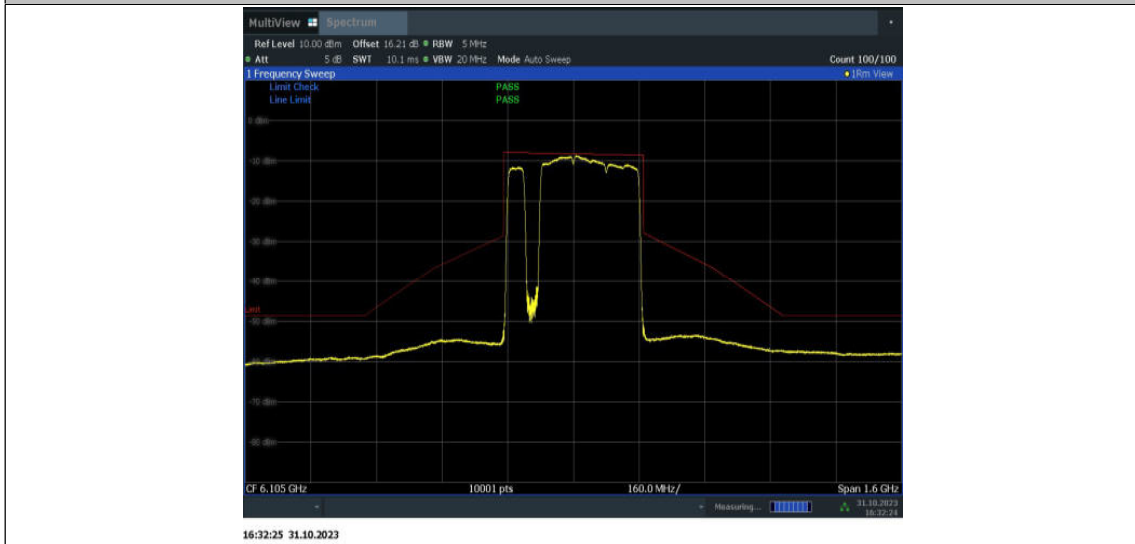
11BE320MIMO_Ant9_6105_3*996_OFDMA_4



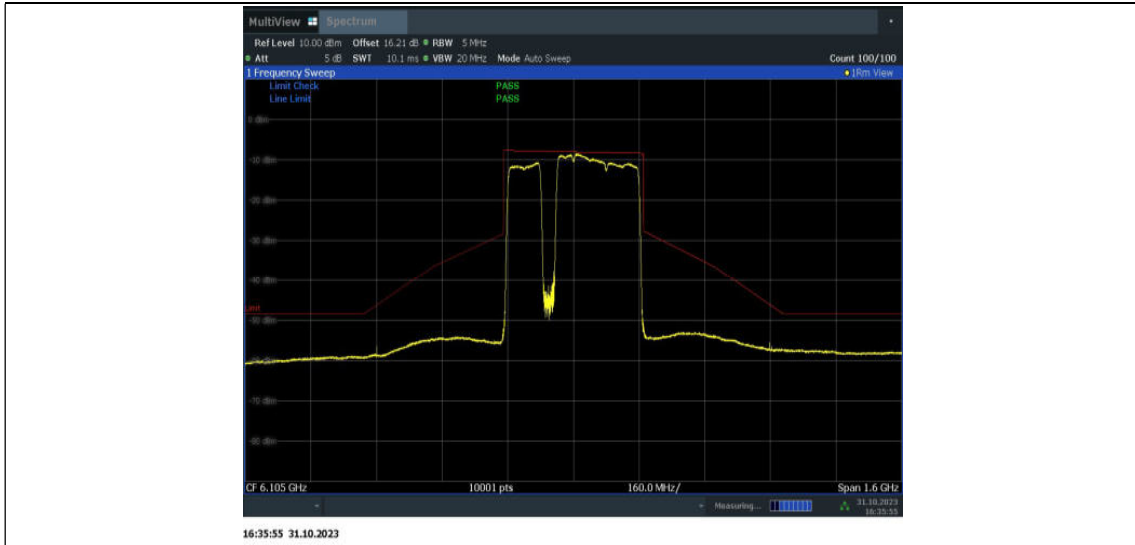
11BE320MIMO_Ant9_6105_3*996+484_OFDMA_1



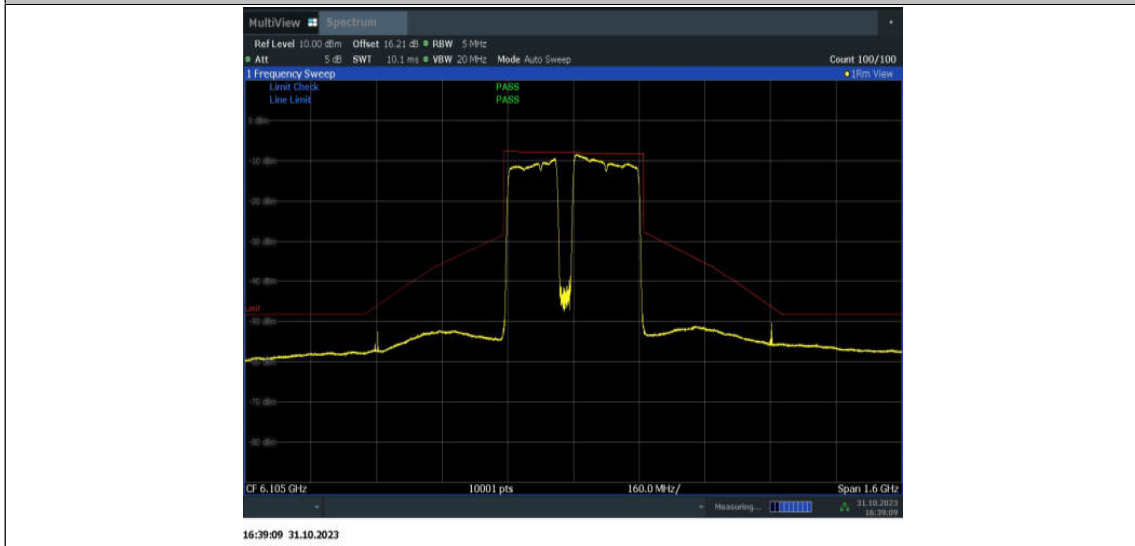
11BE320MIMO_Ant9_6105_3*996+484_OFDMA_2



11BE320MIMO_Ant9_6105_3*996+484_OFDMA_3



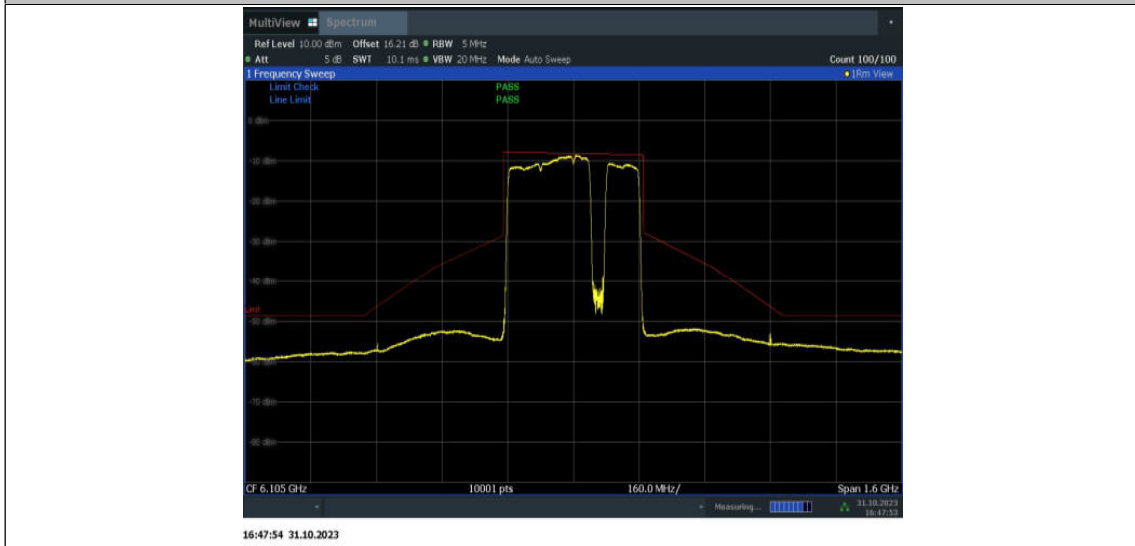
11BE320MIMO_Ant9_6105_3*996+484_OFDMA_4



11BE320MIMO_Ant9_6105_3*996+484_OFDMA_5



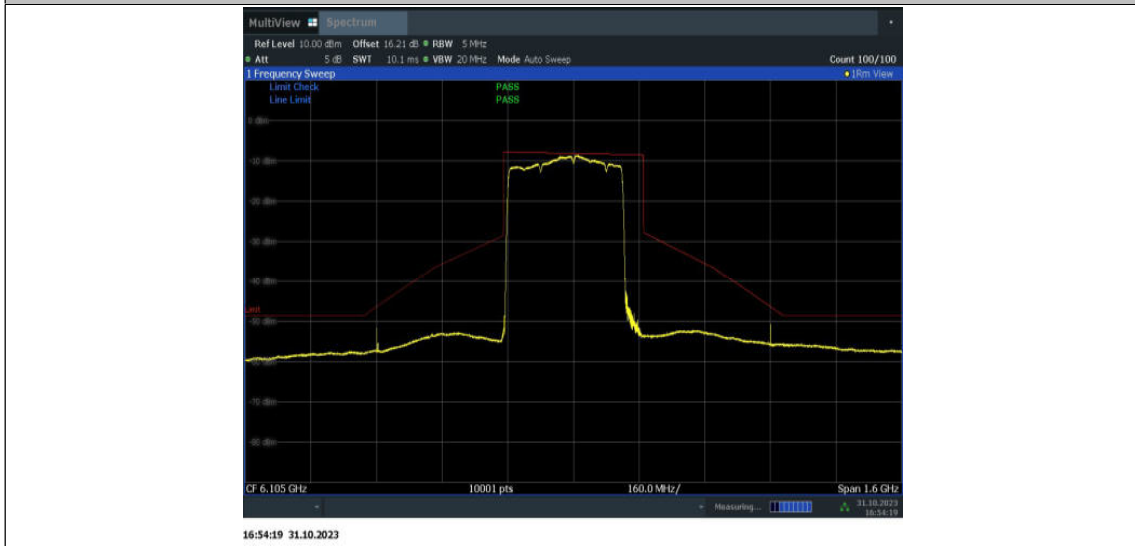
11BE320MIMO_Ant9_6105_3*996+484_OFDMA_6



11BE320MIMO_Ant9_6105_3*996+484_OFDMA_7



11BE320MIMO_Ant9_6105_3*996+484_OFDMA_8



11BE320MIMO_Ant15_6105_2*996+484_OFDMA_1



11BE320MIMO_Ant15_6105_2*996+484_OFDMA_2



11BE320MIMO_Ant15_6105_2*996+484_OFDMA_3



11BE320MIMO_Ant15_6105_2*996+484_OFDMA_4



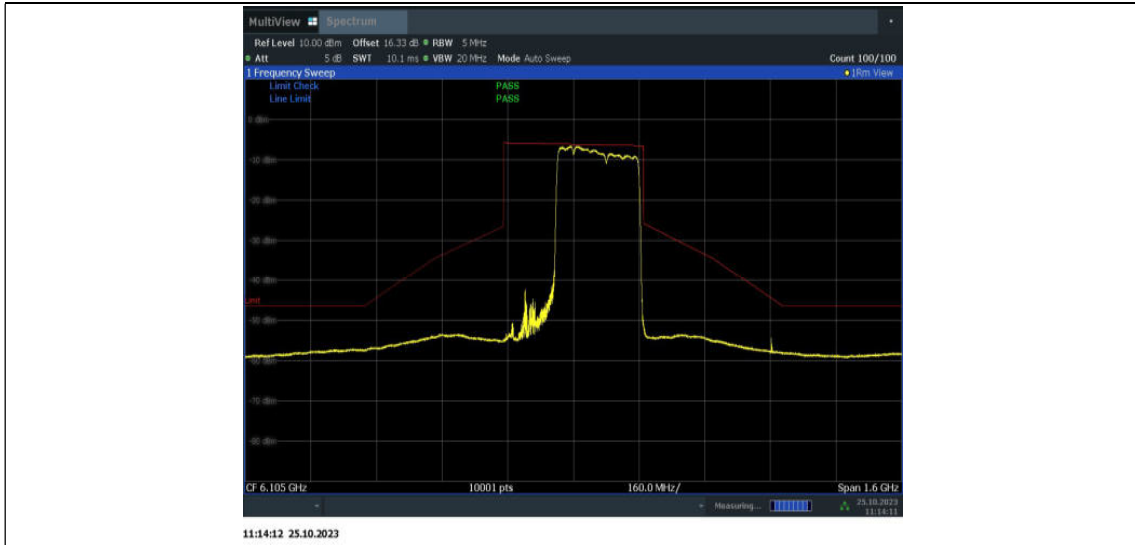
11BE320MIMO_Ant15_6105_2*996+484_OFDMA_5



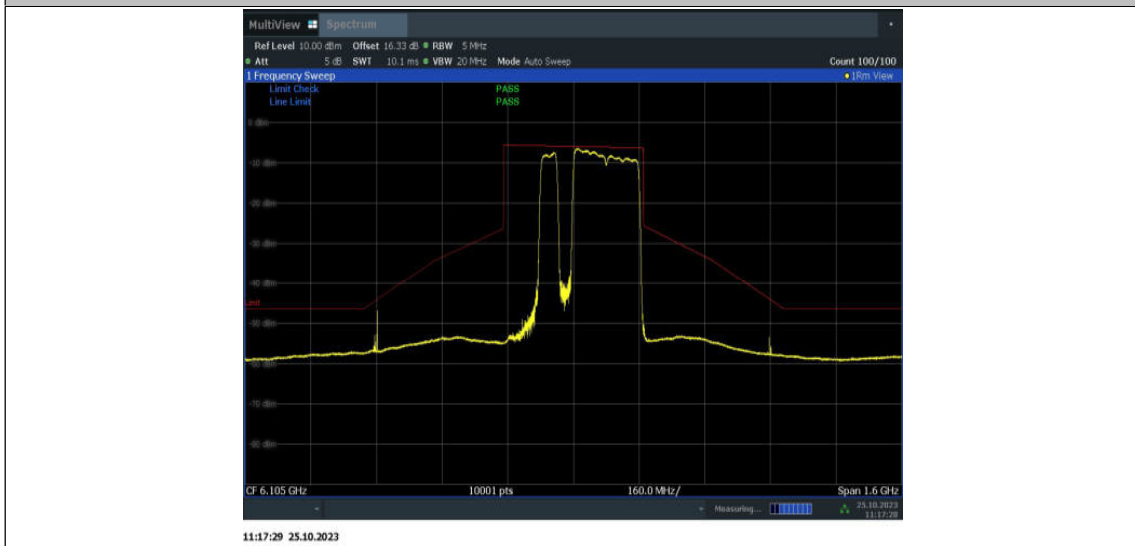
11BE320MIMO_Ant15_6105_2*996+484_OFDMA_6



11BE320MIMO_Ant15_6105_2*996+484_OFDMA_7



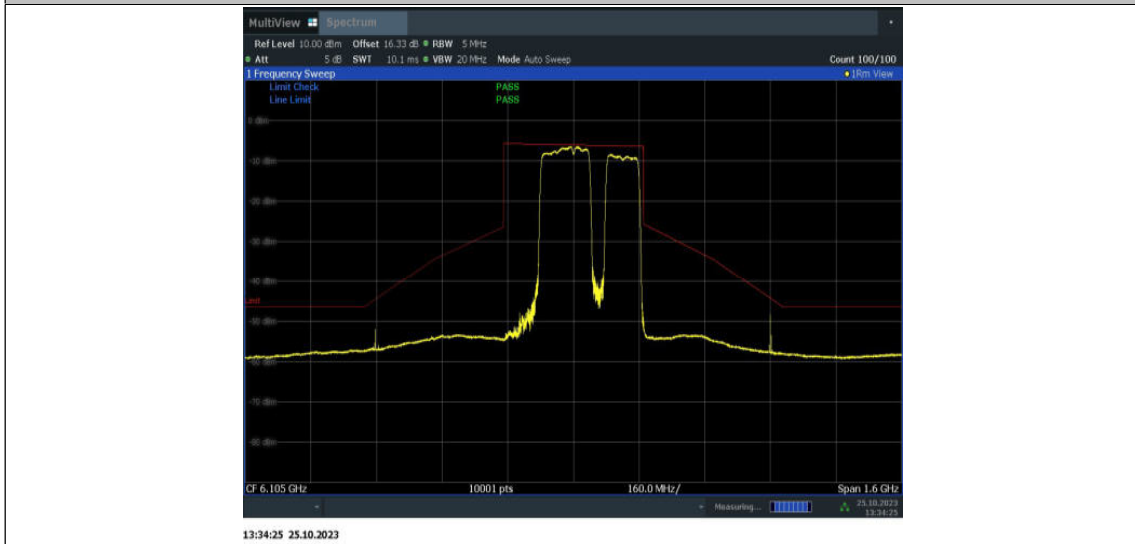
11BE320MIMO_Ant15_6105_2*996+484_OFDMA_8



11BE320MIMO_Ant15_6105_2*996+484_OFDMA_9



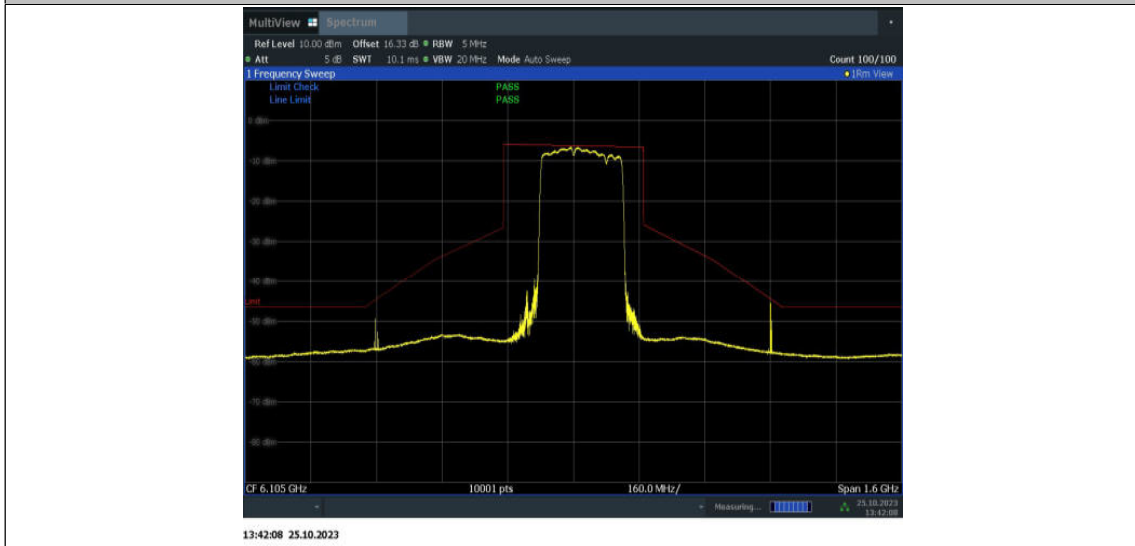
11BE320MIMO_Ant15_6105_2*996+484_OFDMA_10



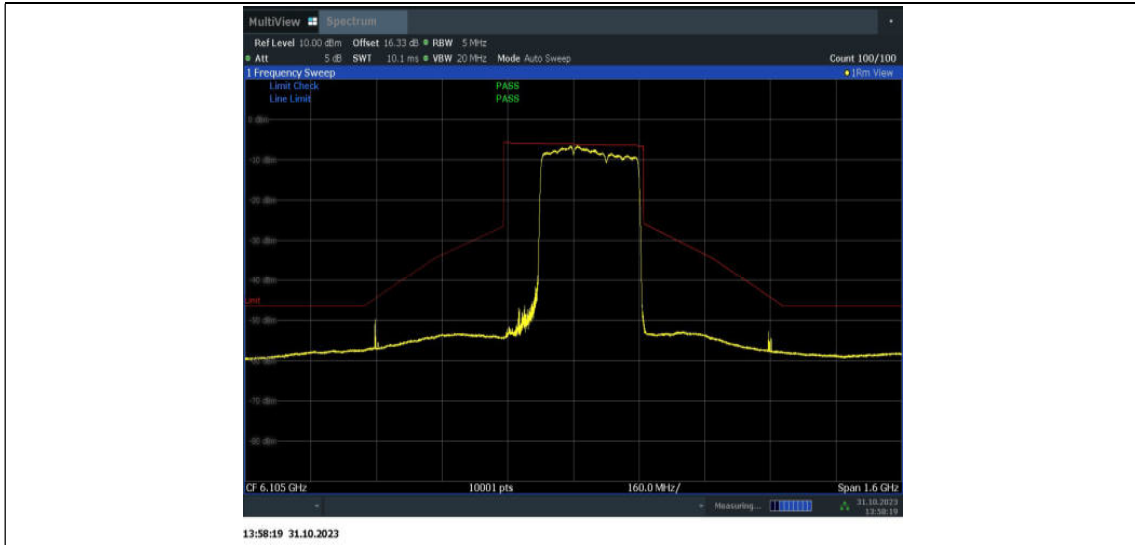
11BE320MIMO_Ant15_6105_2*996+484_OFDMA_11



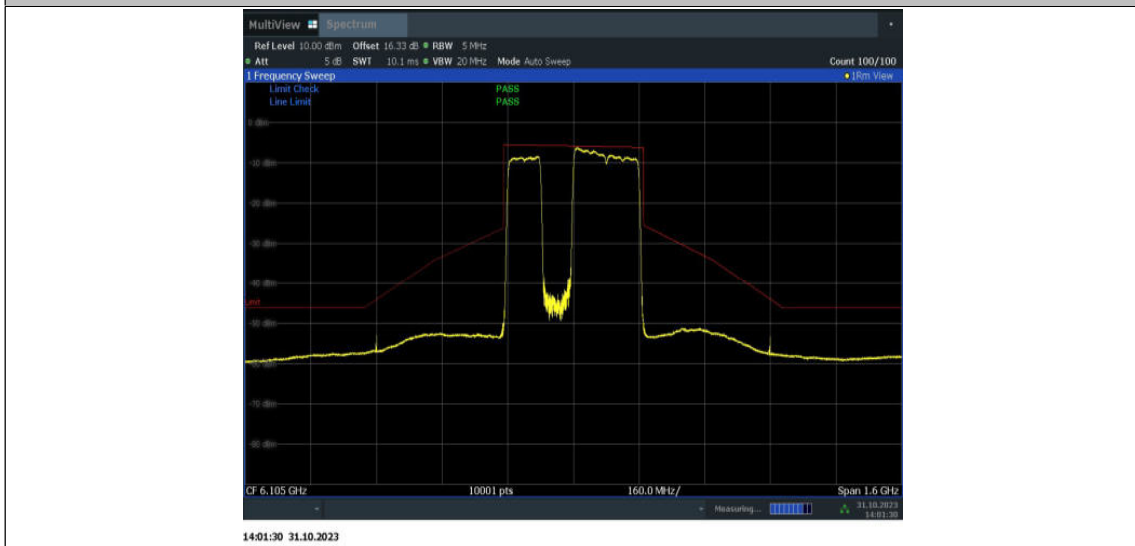
11BE320MIMO_Ant15_6105_2*996+484_OFDMA_12



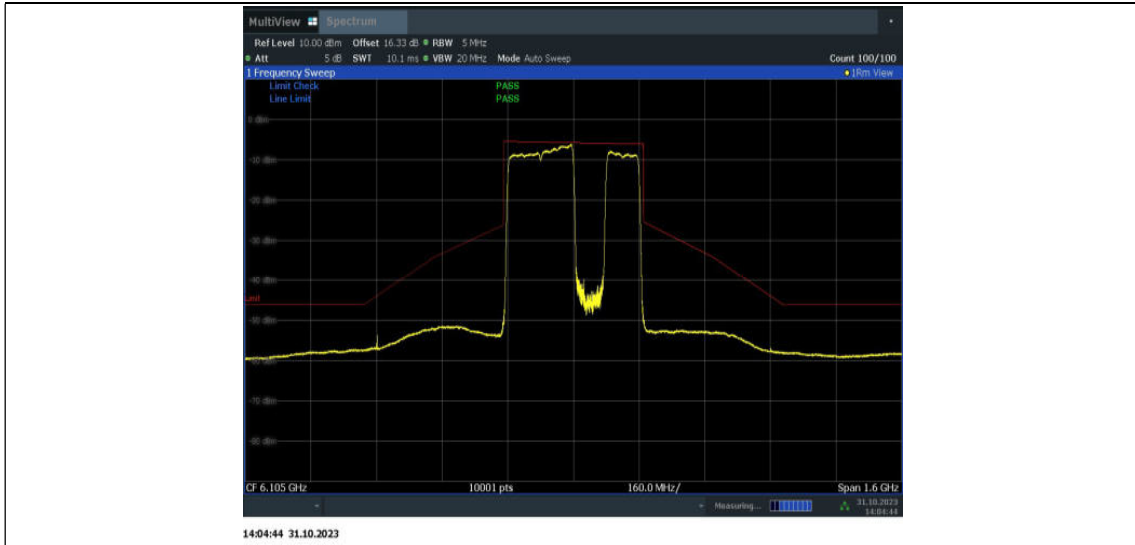
11BE320MIMO_Ant15_6105_3*996_OFDMA_1



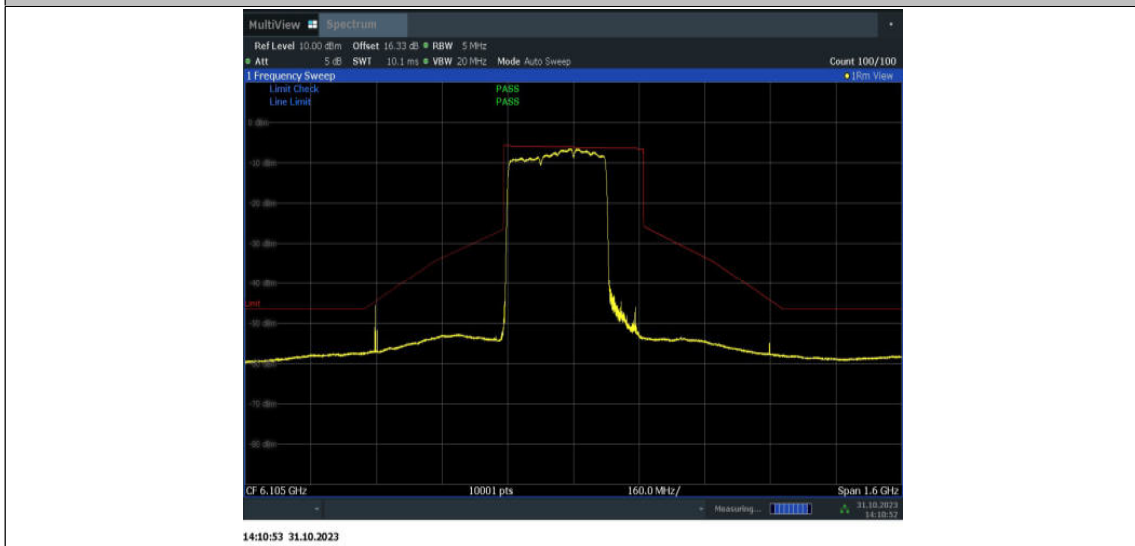
11BE320MIMO_Ant15_6105_3*996_OFDMA_2



11BE320MIMO_Ant15_6105_3*996_OFDMA_3



11BE320MIMO_Ant15_6105_3*996_OFDMA_4



11BE320MIMO_Ant15_6105_3*996+484_OFDMA_1



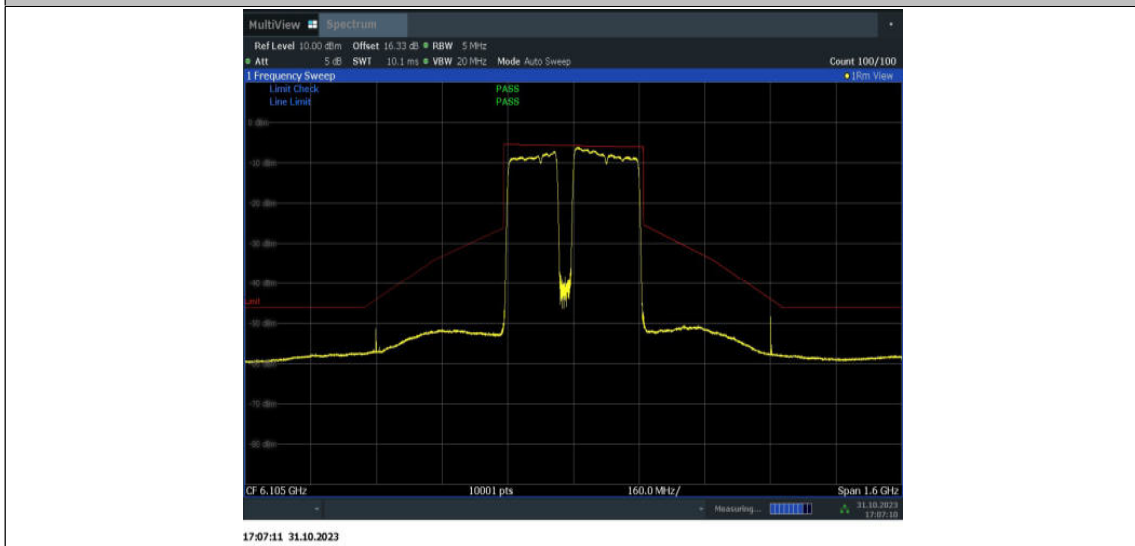
11BE320MIMO_Ant15_6105_3*996+484_OFDMA_2



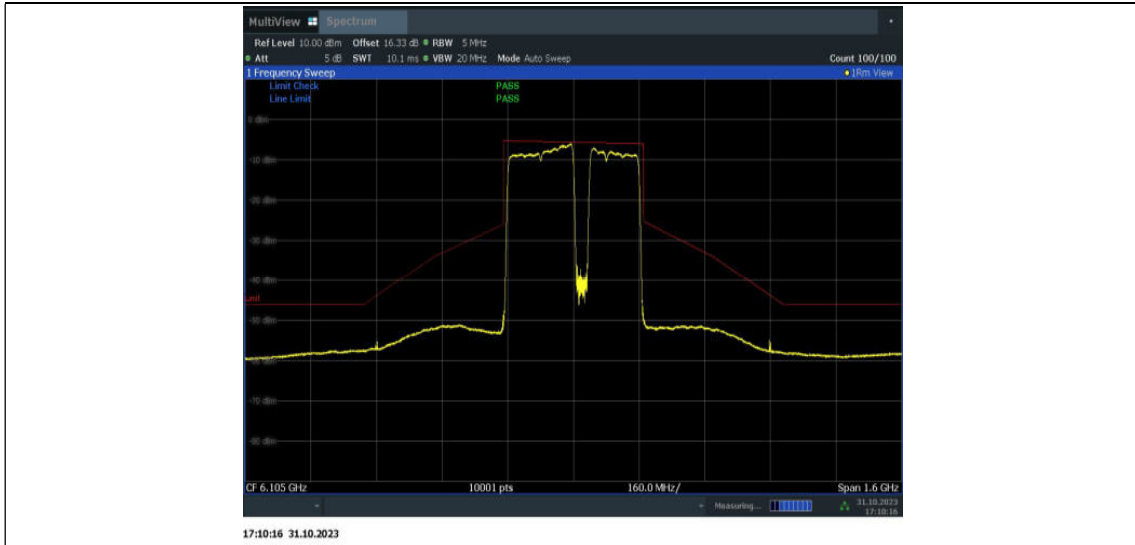
11BE320MIMO_Ant15_6105_3*996+484_OFDMA_3



11BE320MIMO_Ant15_6105_3*996+484_OFDMA_4



11BE320MIMO_Ant15_6105_3*996+484_OFDMA_5



11BE320MIMO_Ant15_6105_3*996+484_OFDMA_6



11BE320MIMO_Ant15_6105_3*996+484_OFDMA_7



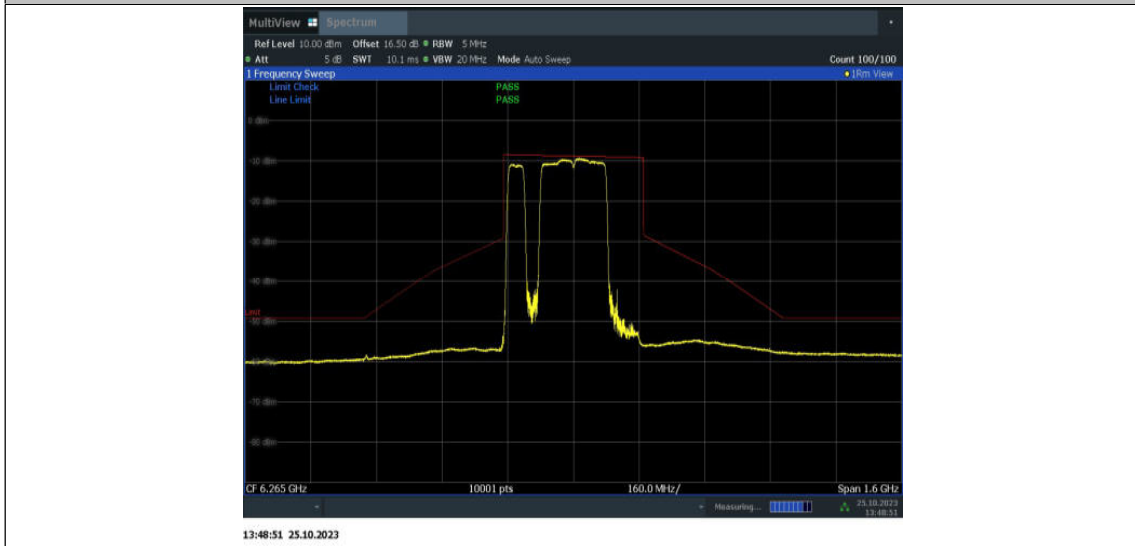
11BE320MIMO_Ant15_6105_3*996+484_OFDMA_8



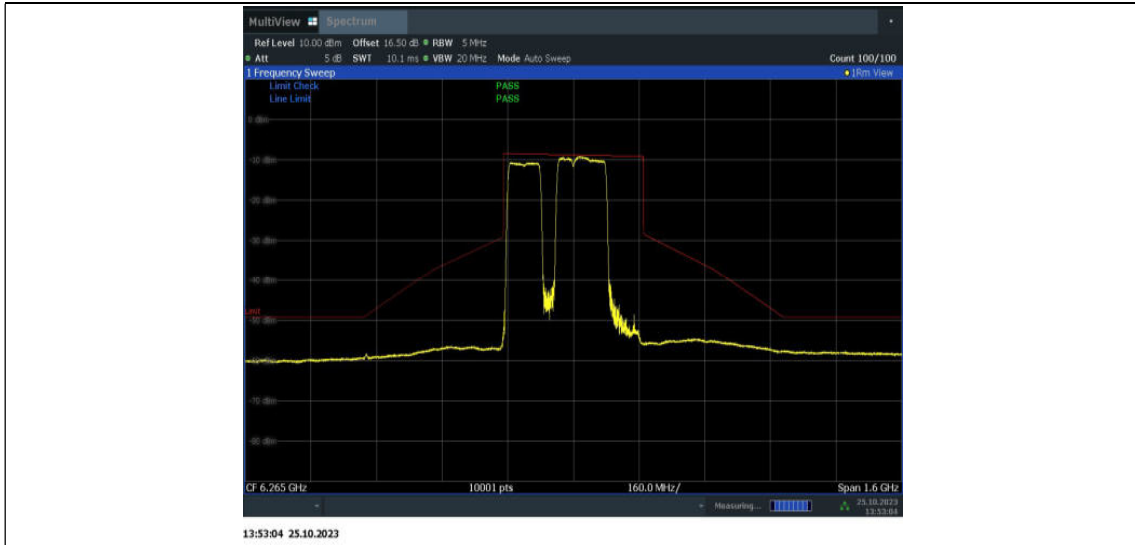
11BE320MIMO_Ant9_6265_2*996+484_OFDMA_1



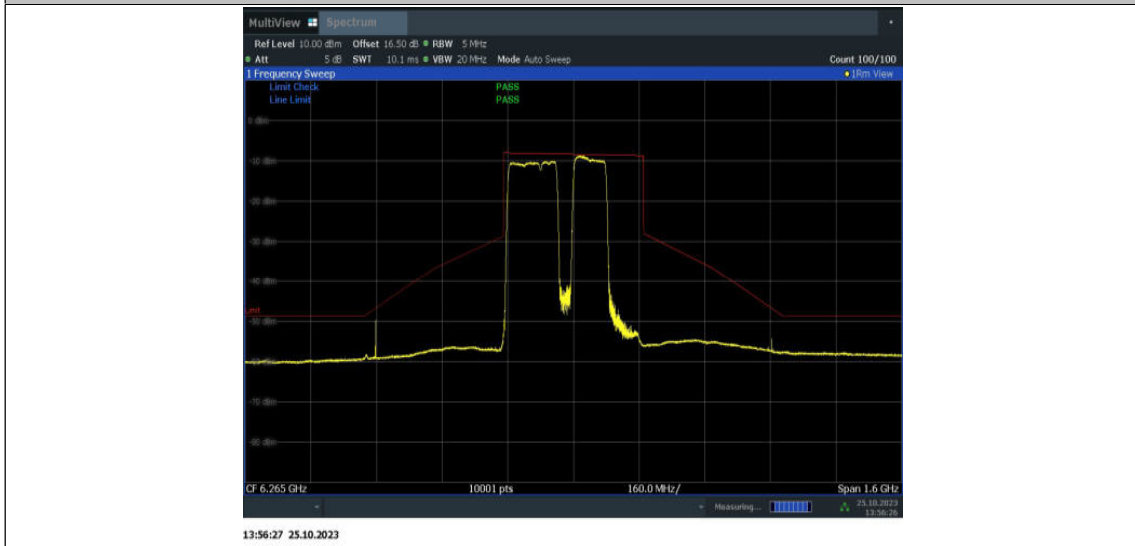
11BE320MIMO_Ant9_6265_2*996+484_OFDMA_2



11BE320MIMO_Ant9_6265_2*996+484_OFDMA_3



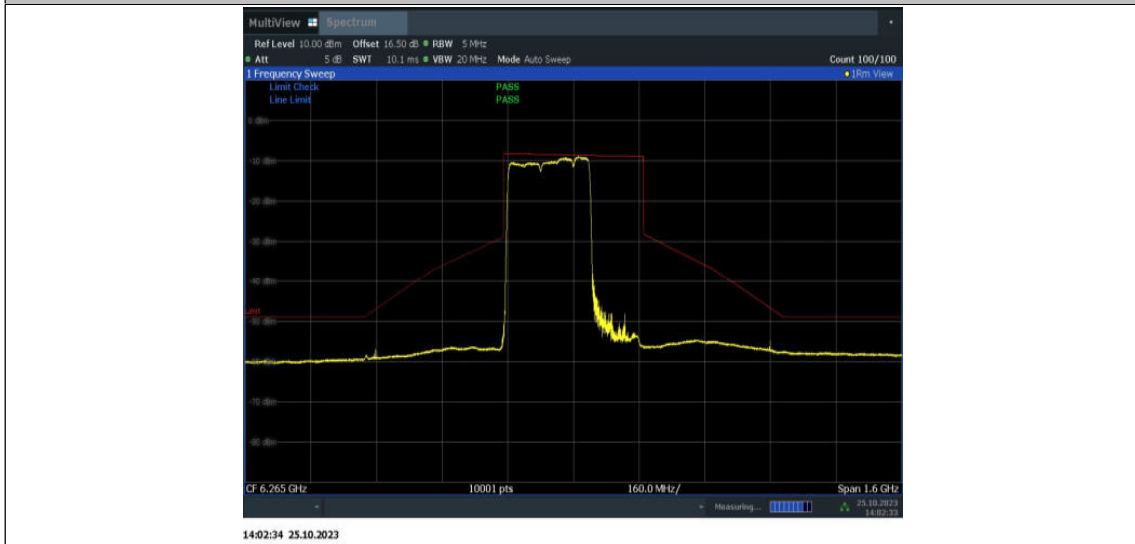
11BE320MIMO_Ant9_6265_2*996+484_OFDMA_4



11BE320MIMO_Ant9_6265_2*996+484_OFDMA_5



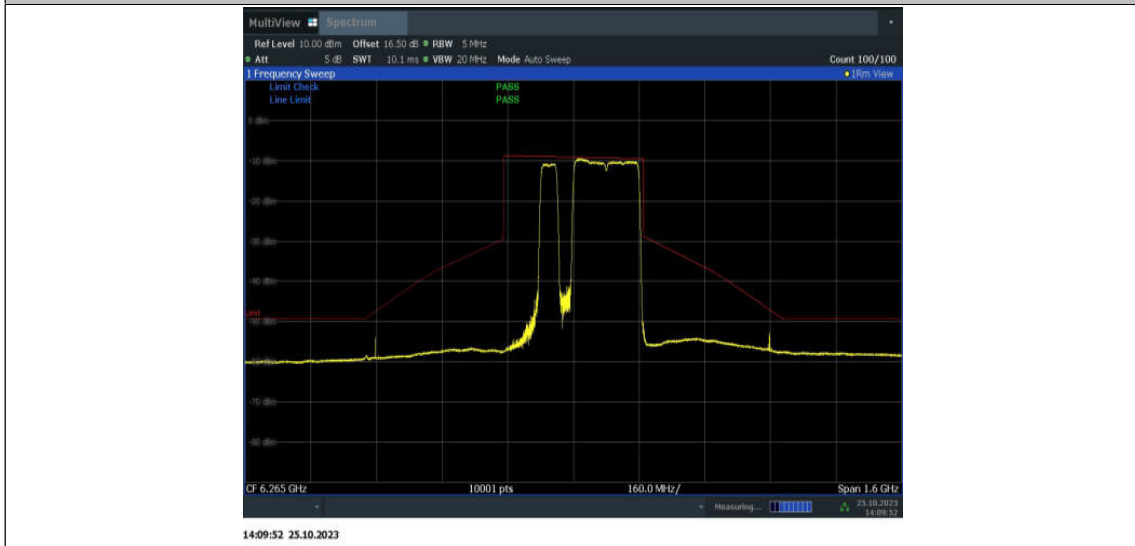
11BE320MIMO_Ant9_6265_2*996+484_OFDMA_6



11BE320MIMO_Ant9_6265_2*996+484_OFDMA_7



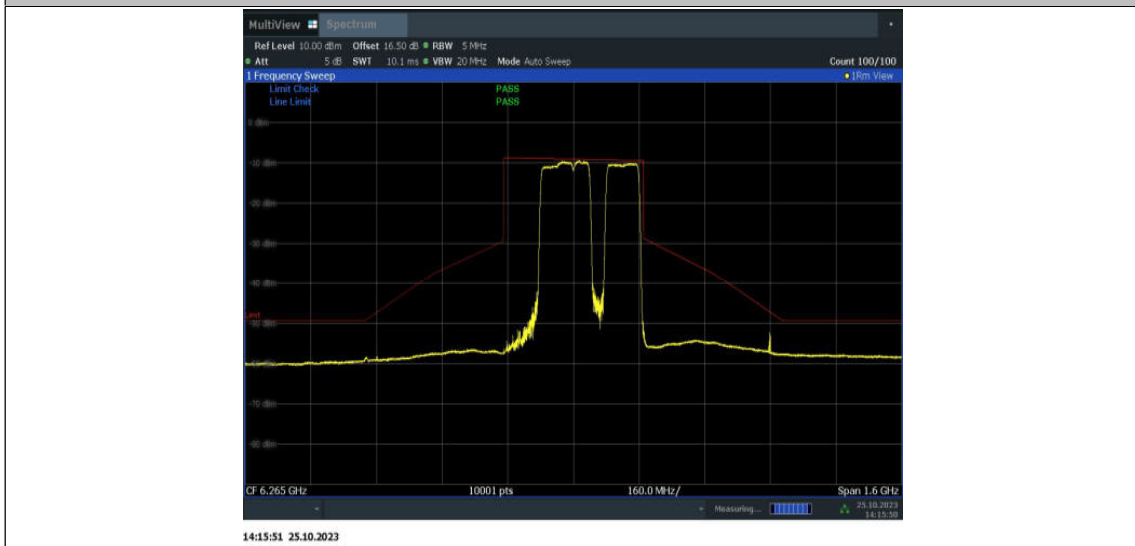
11BE320MIMO_Ant9_6265_2*996+484_OFDMA_8



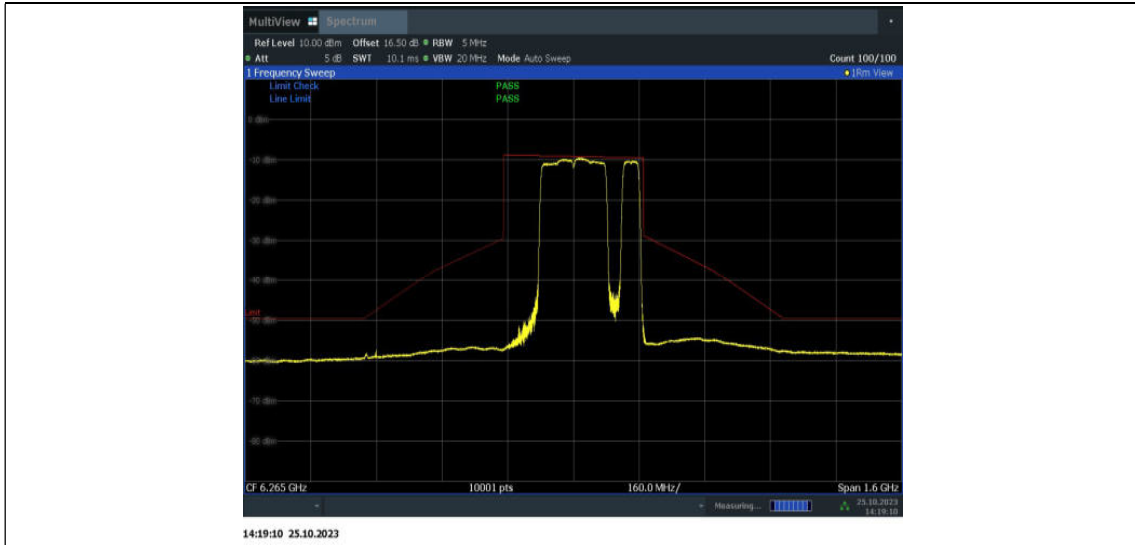
11BE320MIMO_Ant9_6265_2*996+484_OFDMA_9



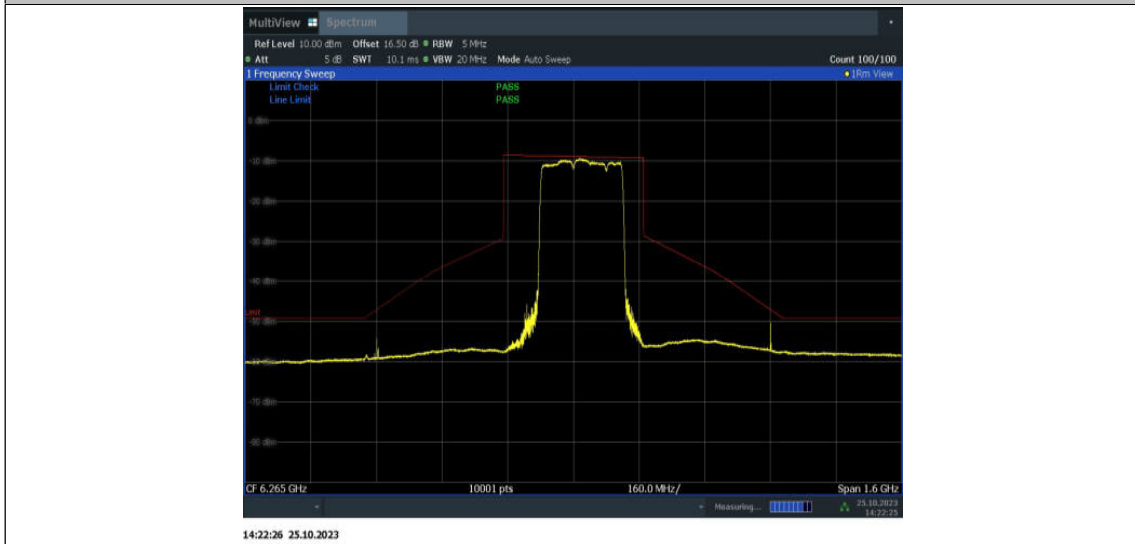
11BE320MIMO_Ant9_6265_2*996+484_OFDMA_10



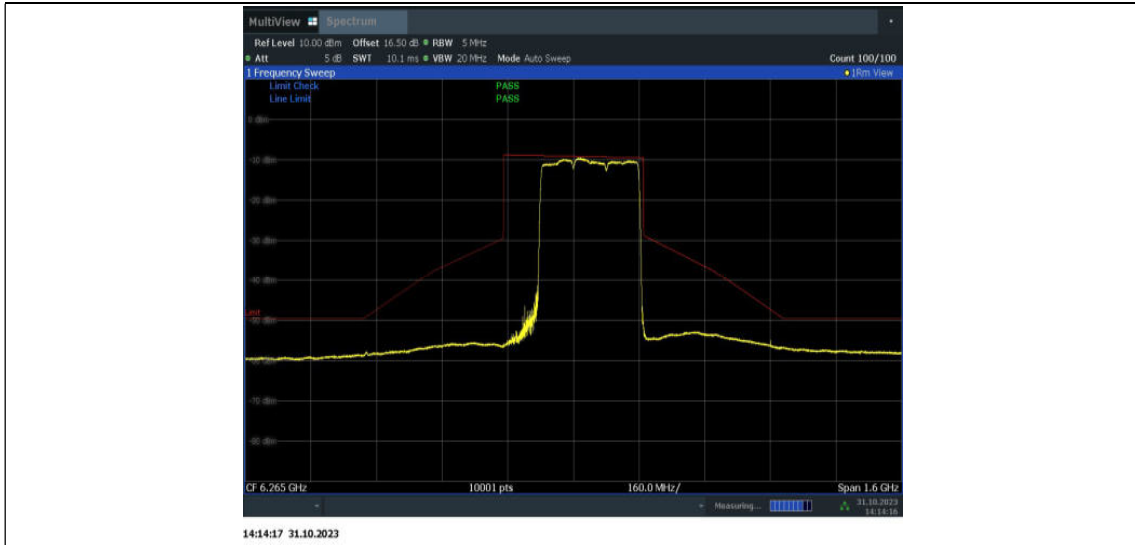
11BE320MIMO_Ant9_6265_2*996+484_OFDMA_11



11BE320MIMO_Ant9_6265_2*996+484_OFDMA_12



11BE320MIMO_Ant9_6265_3*996_OFDMA_1



11BE320MIMO_Ant9_6265_3*996_OFDMA_2



11BE320MIMO_Ant9_6265_3*996_OFDMA_3